

UBA - FCEyN

ANÁLISIS COMPLEJO

Según un estudiante

Luca Martínez

2C 2025

Aclaración

¡Hola! Esto es un apunte de Análisis Complejo que estoy haciendo durante la cursada de la materia en el segundo cuatrimestre de 2025. No va a ser tan completo como la bibliografía sugerida o el cuaderno de un alumno que va a la teórica y copia todo lo que el profesor escribe. La motivación de crear esto que estás leyendo es poder reunir definiciones importantes, proposiciones, lemas, teoremas, etc. de manera más compacta y con más detalle en la que, para mí, es la parte más difícil de la teoría: las demostraciones. Entiendo que los contenidos dados pueden variar un poco de acuerdo a los profesores que dan la materia, ¡pero espero que esto le sirva a la mayoría de personas que cursen!

1. Nociones básicas sobre \mathbb{C} y sus propiedades

Lo primero que vamos a hacer es definir algunos conceptos muy elementales sobre los números complejos pero que nos van a servir para la demostración de la primera proposición relevante.

Definición 1.0

Se define a \mathbb{C} , el conjunto de los números complejos, como

$$\mathbb{C} = \{x + yi : x, y \in \mathbb{R}\}$$

Donde i es la *unidad imaginaria* y satisface que $i^2 = -1$

Sean $z = a + bi$, $w = c + di$. Definiendo la suma $+: \mathbb{C} \times \mathbb{C} \rightarrow \mathbb{C}$ y la multiplicación $\cdot: \mathbb{C} \times \mathbb{C} \rightarrow \mathbb{C}$ de la siguiente manera

$$z + w = (a + bi) + (c + di) := (a + c) + (b + d)i$$

$$z \cdot w = (a + bi) \cdot (c + di) := (ac - bd) + (ad + bc)i$$

$(\mathbb{C}, +, \cdot)$ resulta ser un **cuerpo**.

$x + yi$ es la forma *binómica* de un número complejo.

Se puede notar que la elección de dos números reales arbitrarios determina unívocamente a un número complejo. Es decir, hay una biyección evidente entre \mathbb{C} y \mathbb{R}^2 ($f: \mathbb{R}^2 \rightarrow \mathbb{C}$ con $f(x, y) = x + yi$). Esto, si bien parece una mera observación, realmente se lleva mucho más allá, tanto así que, tal como representamos los elementos de \mathbb{R}^2 en un plano de ejes cartesianos, lo mismo se hace con los números complejos. Por ejemplo, el número complejo $2 + 3i$ se ubica en el plano en el mismo lugar que ubicaríamos a $(2, 3)$

Definición 1.1

Sea $z = x + yi \in \mathbb{C}$, se define a x como la *parte real* de z y se denota $\operatorname{Re}(z)$. Por otro lado, se define a y como la *parte imaginaria* de z , y se denota $\operatorname{Im}(z)$

Con estas dos definiciones ya queda claro que \mathbb{R} , el conjunto de los números reales, es un subconjunto de \mathbb{C} . En particular, es el conjunto de todos los números complejos con parte imaginaria nula.

Definición 1.2

Sean $z, w \in \mathbb{C}$ dos números complejos. $z = w$ si y solo si

$$\operatorname{Re}(z) = \operatorname{Re}(w) \text{ y } \operatorname{Im}(z) = \operatorname{Im}(w)$$

Definición 1.3

Sea $z = x + yi \in \mathbb{C}$, se define el *conjugado* de z , denotado por \bar{z} , como

$$\bar{z} = x - yi$$

Vale como observación que esto nos da otra forma más de diferenciar a \mathbb{R} dentro de los complejos: los números reales son aquellos números complejos que son iguales a su conjugado. Esto es útil en algunos momentos en los que queremos

verificar si un número es real o no.

Definición 1.4

Sea $z = x + yi \in \mathbb{C}$, se define $|z|$, el *módulo* de z , como

$$|z| = \sqrt{x^2 + y^2}$$

Bien, ahora ya tenemos una noción del tamaño o magnitud de un número complejo. Como podemos ver, esto se sigue sosteniendo en la idea de representar a los elementos de \mathbb{C} como los de \mathbb{R}^2 , pues $|z|$ es la longitud de la hipotenusa del triángulo rectángulo de vértices $(0, 0)$, $(x, 0)$ y (x, y) (Teorema de Pitágoras).

Lo siguiente es un cúmulo de algunas proposiciones útiles que no voy a demostrar (no es difícil de hacer).

Proposición 1.0

Sean $z, w \in \mathbb{C}$, entonces

1. $|z| = |\bar{z}|$
2. $|zw| = |z||w|$
3. $|z^n| = |z|^n$ (es un caso particular del anterior)
4. $\operatorname{Re}(z) \leq |z|$
5. $\operatorname{Im}(z) \leq |z|$
6. $z\bar{z} = |z|^2$
7. Si $z \neq 0$, $z^{-1} = \frac{\bar{z}}{|z|^2}$ (se deduce del anterior)
8. $\overline{z + w} = \bar{z} + \bar{w}$
9. $\overline{zw} = \bar{z}\bar{w}$
10. $z + \bar{z} = 2\operatorname{Re}(z)$
11. $z - \bar{z} = 2i\operatorname{Im}(z)$

(Por si te interesa probarlas: en la mayoría basta con escribir en forma binómica a cada complejo y desarrollar).

Definición 1.5

Sea $z = x + yi \in \mathbb{C}$, se denomina $\arg(z)$, *argumento* de z , a cualquier número real θ tal que

$$\operatorname{sen}(\theta) = \frac{\operatorname{Im}(z)}{|z|} \text{ y } \cos(\theta) = \frac{\operatorname{Re}(z)}{|z|}$$

Y recibe el nombre de *argumento principal* aquel valor de θ que se encuentra en el intervalo $(-\pi, \pi]$ (y vamos a denotarlo $\operatorname{Arg}(z)$)

Si de nuevo visualizamos a z en el típico plano de \mathbb{R}^2 , el argumento principal no es más que el ángulo que se forma entre el segmento que va del $(0, 0)$ a z y el eje real (que es el nombre que vamos a darle al eje x), mientras que todas las otras formas del argumento son el argumento principal $+ 2k\pi$, siendo k un entero.

Esto induce una nueva forma, equivalente a la representación polar de los elementos de \mathbb{R}^2 , de representar a un número complejo.

Proposición 1.1

Sea $z = x + yi \in \mathbb{C}$ y $\theta = \arg(z)$, entonces

$$z = |z|(\cos(\theta) + i\operatorname{sen}(\theta))$$

$|z|(\cos(\theta) + i\operatorname{sen}(\theta))$ es la forma *polar* de un número complejo.

Proposición 1.2

Sean $z, w \in \mathbb{C}$, entonces $z = w$ si y solo si

$$|z| = |w| \text{ y } \operatorname{Arg}(z) = \operatorname{Arg}(w)$$

Proposición 1.3

Sean $z, w \in \mathbb{C}$, entonces

$$\arg(zw) = \arg(z) + \arg(w) + 2k\pi$$

Demostración.

Sean $z, w \in \mathbb{C}$ y sean $\alpha = \arg(z)$, $\beta = \arg(w)$

$$zw = |z||w|(\cos(\alpha) + i\operatorname{sen}(\alpha))(\cos(\beta) + i\operatorname{sen}(\beta))$$

$$zw = |zw|(\cos(\alpha)\cos(\beta) + i\operatorname{sen}(\beta)\cos(\alpha) + i\operatorname{sen}(\alpha)\cos(\beta) + i^2\operatorname{sen}(\alpha)\operatorname{sen}(\beta))$$

$$zw = |zw|(\cos(\alpha)\cos(\beta) - \operatorname{sen}(\alpha)\operatorname{sen}(\beta) + i(\operatorname{sen}(\beta)\cos(\alpha) + \operatorname{sen}(\alpha)\cos(\beta)))$$

Notemos que la parte real de lo que está adentro del paréntesis es el coseno de la suma entre α y β . Lo mismo ocurre con la parte imaginaria y el seno de la suma.

$$zw = |zw|(\cos(\alpha + \beta) + i\operatorname{sen}(\alpha + \beta)) \quad \square$$

Corolario

Sea $\theta \in \mathbb{R}$, entonces

$$(\cos(\theta) + i\operatorname{sen}(\theta))^n = \cos(n\theta) + i\operatorname{sen}(n\theta)$$

Esta es la *fórmula de De Moivre*.

La forma polar de los números complejos es notablemente más cómoda para trabajar con las potencias, y, en general, es más elegida que la binómica.

Proposición 1.4 (Fórmula de Euler)

Sea $x \in \mathbb{R}$, entonces

$$e^{ix} = \cos(x) + i\operatorname{sen}(x)$$

Esta es una de las igualdades más célebres de la matemática, la misma nos da una tercera forma de describir un número complejo.

Proposición 1.5

Sean $z \in \mathbb{C}$ y $\theta = \arg(z)$, entonces

$$z = |z|e^{i\theta}$$

$|z|e^{i\theta}$ es la forma *exponencial* de un número complejo.

Teorema 1.0 (Desigualdad triangular)

Sean $z, w \in \mathbb{C}$, entonces

$$|z + w| \leq |z| + |w|$$

Demostración.

$$\begin{aligned} |z + w|^2 &= (z + w)(\overline{z + w}) = (z + w)(\bar{z} + \bar{w}) \\ (z + w)(\bar{z} + \bar{w}) &= z\bar{z} + z\bar{w} + w\bar{z} + w\bar{w} = |z|^2 + z\bar{w} + \overline{z\bar{w}} + |w|^2 \\ |z|^2 + z\bar{w} + \overline{z\bar{w}} + |w|^2 &= |z|^2 + 2\operatorname{Re}(z\bar{w}) + |w|^2 \leq |z|^2 + 2|z\bar{w}| + |w|^2 \\ |z|^2 + 2|z\bar{w}| + |w|^2 &= |z|^2 + 2|z||\bar{w}| + |w|^2 = |z|^2 + 2|z||w| + |w|^2 \\ |z|^2 + 2|z||w| + |w|^2 &= (|z| + |w|)^2 \end{aligned}$$

Por transitividad de $=$ y de \leq :

$$|z + w|^2 \leq (|z| + |w|)^2$$

$$|z + w| \leq |z| + |w| \quad \square$$

2. Raíces de números complejos

Esta sección va a ser corta pues solo vamos a exhibir rápidamente cómo se hallarían las raíces de cualquier número complejo, junto a un resultado que puede sernos útil.

Proposición 2.0

Sean $z \in \mathbb{C}$ y $n \in \mathbb{N}$, entonces

$$\arg(z^n) - 2k\pi = n\arg(z)$$

Para algunos enteros k .

Esta proposición se puede deducir de la fórmula de De Moivre, e implica que, dado $w \in \mathbb{C} - \{0\}$, hay n complejos z distintos tales que $z^n = w$. Para hallarlos, basta con igualar $\arg(z^n)$ con $\arg(w)$, y $|z^n|$ con $|w|$.

Ejemplo. Hallar todos los complejos z tales que $z^3 = 1$.

Sea $z \in \mathbb{C}$ tal que $z^3 = 1$. Procedemos igualando argumentos y módulos

$$\begin{cases} |z^3| = 1 \\ \arg(z^3) = \arg(1) = 0 \end{cases} \implies \begin{cases} |z| = 1 \\ 3\arg(z) = 0 + 2k\pi \end{cases}$$

Solo nos queda hallar todos los valores de $k \in \mathbb{Z}$ tales que $0 \leq \frac{2}{3}k\pi < 2\pi$, dividiendo por $\frac{2}{3}\pi$ en toda la desigualdad llegamos a que $k \in \{0, 1, 2\}$. Así que mis soluciones z_1, z_2, z_3 son:

$$z_1 = 1, \quad z_2 = \cos\left(\frac{2}{3}\pi\right) + i\sin\left(\frac{2}{3}\pi\right), \quad z_3 = \cos\left(\frac{4}{3}\pi\right) + i\sin\left(\frac{4}{3}\pi\right)$$

Proposición 2.1

Sean $z_0, z_1, \dots, z_{n-1} \in \mathbb{C}$ raíces n -ésimas de $w \in \mathbb{C} - \{0\}$, $m, n \in \mathbb{N}$ con $n \geq 2$, entonces

$$\sum_{j=0}^{n-1} z_j^m = \begin{cases} nw^k & \text{si } m = kn, k \in \mathbb{N} \\ 0 & \text{en caso contrario} \end{cases}$$

Demostración.

Supongamos que hay k natural tal que $\frac{m}{n} = k$, sea $\phi = \arg(w)$, sabemos entonces que:

$$z_j = |w|^{1/n} e^{i(\phi+2j\pi)/n}$$

Luego:

$$\sum_{j=0}^{n-1} z_j^m = \sum_{j=0}^{n-1} (|w|^{1/n} e^{i(\phi+2j\pi)/n})^m = |w|^{m/n} \sum_{j=0}^{n-1} e^{i(\phi+2j\pi)m/n}$$

Descomponiendo el exponente, vemos que $e^{i\phi m/n}$ no depende de j .

$$|w|^k e^{i\phi k} \sum_{j=0}^{n-1} e^{i2j\pi k} = |w|^k (e^{i\phi})^k \sum_{j=0}^{n-1} (e^{i2j\pi})^k$$

Para cada j , lo que está en la suma siempre es 1 pues $e^{i2k\pi} = 1$ para todo k entero. Por ende

$$|w|^k (e^{i\phi})^k \sum_{j=0}^{n-1} (e^{i2j\pi})^k = n(|w|e^{i\phi})^k = nw^k$$

Si m no es un múltiplo de n , podemos retornar hasta este paso

$$\sum_{j=0}^{n-1} z_j^m = |w|^{m/n} e^{i\phi m/n} \sum_{j=0}^{n-1} e^{i2j\pi m/n}$$

Reescribiendo la suma

$$(|w|e^{i\phi})^{m/n} \sum_{j=0}^{n-1} e^{i2j\pi m/n} = (|w|e^{i\phi})^{m/n} \sum_{j=0}^{n-1} (e^{i2\pi m/n})^j$$

Tenemos una geométrica, como m/n no es un entero, la base resulta ser distinta de 1, por lo que podemos aplicar el conocido resultado

$$(|w|e^{i\phi})^{m/n} \sum_{j=0}^{n-1} (e^{i2\pi m/n})^j = (|w|e^{i\phi})^{m/n} \left(\frac{(e^{i2\pi m/n})^n - 1}{e^{i2\pi m/n} - 1} \right) = 0$$

Pues el numerador resulta ser nulo. \square

3. Funciones complejas

Aclaración.

\mathbb{R}^2 y \mathbb{C} serán usados indistintamente a la hora de definir dominios y codominios de funciones y enunciar proposiciones y definiciones relacionadas a estas.

3.1. Algunas nociones topológicas

Para hablar de conceptos como límite, continuidad, conexión y otros por el estilo, vamos a reintroducir algunos conceptos de topología. Sobre cada uno de ellos se profundizó en Cálculo Avanzado, por lo que solo vamos a enunciar algunas definiciones y proposiciones, pero no vamos a hacer demostraciones.

Definición 3.1.0

Definimos la distancia “usual” entre dos complejos z, w como

$$d(z, w) = |z - w|$$

Como su nombre sugiere, esta función hace de (\mathbb{C}, d) un espacio métrico.

Esto nos permite definir más conceptos.

Definición 3.1.1

Sean $D \subseteq \mathbb{C}$, $z_0 \in \mathbb{C}$, $\mathcal{B}(z_0, r) = \{z \in \mathbb{C} : d(z, z_0) < r\}$ (r real positivo) y $\mathcal{B}^*(z_0, r) = \{z \in \mathbb{C} : 0 < d(z, z_0) < r\}$, entonces

1. z_0 es punto *interior* de D sii hay $r > 0$ tal que $\mathcal{B}(z_0) \subseteq D$
2. z_0 es punto *exterior* de D sii hay $r > 0$ tal que $\mathcal{B}(z_0) \cap D = \emptyset$
3. z_0 es punto *frontera* de D sii para todo $r > 0$ vale que $\mathcal{B}(z_0, r) \cap D \neq \emptyset$ y $\mathcal{B}(z_0, r) \cap \mathbb{C} - D \neq \emptyset$ simultáneamente
4. z_0 es punto *de acumulación* de D sii para todo $r > 0$ vale que $\mathcal{B}^*(z_0, r) \cap D \neq \emptyset$

Definición 3.1.2

Sea $D \subseteq \mathbb{C}$, definimos D° (*interior* de D) como el conjunto de sus puntos interiores y \overline{D} (*clausura* de D) como $D \cup \{\text{puntos frontera de } D\}$

Además, decimos que D es *abierto* si $D = D^\circ$, y que D es *cerrado* si $D = \overline{D}$.

Definición 3.1.3

Sea $D \subseteq \mathbb{C}$, decimos que D es *disconexo* si hay abiertos disjuntos $V, W \subseteq \mathbb{C}$ tales que

1. $D \subseteq V \cup W$
2. $D \cap V \neq \emptyset$
3. $D \cap W \neq \emptyset$

((2.) y (3.) ya implican que dichos abiertos disjuntos son no vacíos)

Por el contrario, decimos que D es *conexo* sii no es desconexo.

Definición 3.1.4

Sea $D \subseteq \mathbb{C}$, decimos que D es *arcoconexo* si para todos $v, w \in D$ existe $\gamma : [a, b] \subseteq \mathbb{R} \rightarrow D$ continua tal que $\gamma(a) = v$ y $\gamma(b) = w$

Proposición 3.1.0

Sea $D \subseteq \mathbb{C}$ abierto. Son equivalentes

1. D es conexo.
2. D es arcoconexo.

Antes de empezar a hablar de algunos tipos de funciones en particular, vamos a introducir la ya familiar noción de *límite*.

Definición 3.1.5

Sea $D \subseteq \mathbb{C}$ y $f : D \rightarrow \mathbb{C}$. Decimos que $\lim_{z \rightarrow z_0} f(z) = L$ si para todo $\varepsilon > 0$ existe $\delta > 0$ tal que

$$d(z, z_0) < \delta \rightarrow d(f(z), L) < \varepsilon$$

Con $z \in D$.

3.2. Homografías

Definición 3.2.0

Llamamos *homografía* a cualquier función f de la forma

$$f(z) = \frac{az + b}{cz + d}$$

Con $a, b, c, d \in \mathbb{C}$ tales que $ad - bc \neq 0$

Además, damos el nombre de *homografías básicas* a estas funciones:

1. Traslación: $T_a(z) = z + a$, $a \in \mathbb{C}$
2. Homotecia: $H_r(z) = rz$, $r > 0$
3. Rotación: $R_\alpha(z) = \alpha z$, $|\alpha| = 1$
4. Inversión: $I(z) = 1/z$

Los valores en los que está definida f y los que puede tomar dependen de si c es nulo o no. En general, su dominio es o bien \mathbb{C} o bien $\mathbb{C} - \{-d/c\}$ según el caso. Mientras que su imagen es o bien \mathbb{C} o bien $\mathbb{C} - \{a/c\}$.

Proposición 3.2.0

Sea f una homografía $f(z) = \frac{az+b}{cz+d}$ con $c \neq 0$ y consideremos $i(z) = 1/z$. Hay funciones lineales g, h tales que

$$f = g \circ i \circ h$$

Demostración.

Sea $q \in \mathbb{C}$ tal que $ad - qc = 0$, o sea $q = \frac{ad}{c}$

$$f(z) = \frac{az + b}{cz + d} = \frac{az + b + q - q}{cz + d} = \frac{az + \frac{ad}{c}}{cz + d} + \frac{b - q}{cz + d}$$

$$f(z) = \frac{az + \frac{ad}{c}}{cz + d} + \frac{b - q}{cz + d} = \frac{a}{c} \frac{z + \frac{d}{c}}{z + \frac{d}{c}} + \frac{b - \frac{ad}{c}}{cz + d} = \frac{a}{c} + (b - \frac{ad}{c})(cz + d)^{-1}$$

Luego, $h(z) = cz + d$ y $g(z) = \frac{a}{c} + (b - \frac{ad}{c})z$ \square

Notemos que esto está muy próximo a ser una demostración de que **toda homografía es composición de las básicas**, que es una proposición cierta e importante. A continuación, definimos la *proyección estereográfica*. Para esto, consideremos una “extensión” de \mathbb{C}

Definición 3.2.1

Definimos al *plano complejo extendido*, denotado como $\hat{\mathbb{C}}$, como el conjunto $\mathbb{C} \cup \{\infty\}$

Definición 3.2.2

Sean $\mathbb{S}^2 = \{(x_1, x_2, x_3) \in \mathbb{R}^3 : x_1^2 + x_2^2 + x_3^2 = 1\}$, $N = (0, 0, 1)$ (el “polo norte” de \mathbb{S}^2) y $P = (a, b, c) \in \mathbb{S}^2 - \{N\}$. La *proyección estereográfica* de P es el punto $z = (x, y, 0) \in \mathbb{R}^3$ (que vamos a asociarlo al complejo $x + yi$) que es la intersección entre el plano xy y la recta que pasa por N y P .

Proposición 3.2.1

Dado un punto $P = (a, b, c) \in \mathbb{S}^2 - \{N\}$, la proyección estereográfica de P es $z = \left(\frac{a}{1-c}, \frac{b}{1-c}, 0\right)$. Por ende, definimos $\Psi : \mathbb{S}^2 \longrightarrow \hat{\mathbb{C}}$ así:

$$\Psi(a, b, c) = \begin{cases} \frac{a}{1-c} + \frac{b}{1-c}i & \text{si } (a, b, c) \neq N \\ \infty & \text{si } (a, b, c) = N \end{cases}$$

Demostración.

Sean $N = (0, 0, 1)$ y $P = (a, b, c) \in \mathbb{S}^2 - \{N\}$, consideremos la recta que une ambos puntos:

$$L : (0, 0, 1) + t(a, b, c - 1)$$

Nos interesa hallar la intersección con el plano xy , así que consideramos la siguiente ecuación:

$$(0, 0, 1) + t(a, b, c - 1) = (x, y, 0)$$

Igualando las terceras coordenadas

$$1 + t(c - 1) = 0$$

$$t = \frac{-1}{c - 1}$$

$$t = \frac{1}{1 - c}$$

O sea que para $t = \frac{1}{1-c}$ se obtiene el punto de intersección, reemplazando por dicho valor tenemos que:

$$(0, 0, 1) + \frac{1}{1-c}(a, b, c - 1) = \left(\frac{a}{1-c}, \frac{b}{1-c}, \frac{c-1}{1-c} + 1\right) = \left(\frac{a}{1-c}, \frac{b}{1-c}, 0\right) = (x, y, 0)$$

Este elemento $(x, y, 0)$ se asocia al complejo $x + yi$, que coincide con lo definido en Ψ . \square

Proposición 3.2.2

Ψ es biyectiva y su inversa $\Psi^{-1} : \hat{\mathbb{C}} \rightarrow \mathbb{S}^2$ está dada por:

$$\Psi^{-1}(z) = \begin{cases} \left(\frac{2x}{|z|^2 + 1}, \frac{2y}{|z|^2 + 1}, \frac{|z|^2 - 1}{|z|^2 + 1} \right) & \text{si } z \neq \infty \\ N & \text{si } z = \infty \end{cases}$$

Con $z = x + yi$.

Demostración.

Sean $P = (a, b, c) \in \mathbb{S}^2 - \{N\}$ y $z = x + yi$. En la demostración anterior vimos que, si z es la proyección estereográfica de P , entonces,

$$\begin{cases} x = \frac{a}{1-c} \\ y = \frac{b}{1-c} \end{cases}$$

Es decir que $a = x(1-c)$ y $b = y(1-c)$. Recordando que P satisface la ecuación $a^2 + b^2 + c^2 = 1$

$$|z|^2 = x^2 + y^2 = \frac{a^2}{(1-c)^2} + \frac{b^2}{(1-c)^2} = \frac{a^2 + b^2}{(1-c)^2} = \frac{1-c^2}{(1-c)^2} = \frac{1+c}{1-c}$$

Por transitividad, se tiene que

$$\begin{aligned} |z|^2(1-c) &= 1+c \\ |z|^2 - 1 &= c + |z|^2 c \\ c &= \frac{|z|^2 - 1}{|z|^2 + 1} \end{aligned}$$

Reemplazando en los valores de a, b

$$a = x \left(1 - \frac{|z|^2 - 1}{|z|^2 + 1} \right) = x \left(\frac{|z|^2 + 1}{|z|^2 + 1} - \frac{|z|^2 - 1}{|z|^2 + 1} \right) = \frac{2x}{|z|^2 + 1}$$

Procediendo de la misma manera, resulta ser que

$$b = \frac{2y}{|z|^2 + 1}$$

Los valores a, b, c hallados coinciden con lo definido en Ψ^{-1} . \square

Proposición 3.2.3

Sean $P = (a, b, c) \in \mathbb{S}^2 - \{N\}$ y $z = x + yi$ no nulo, si $\Psi(a, b, c) = z$, entonces $\Psi(a, -b, -c) = \frac{1}{z}$.

Demostración.

Sean $P = (a, b, c) \in \mathbb{S}^2 - \{N\}$ y $z = x + yi \in \mathbb{C} - \{0\}$ con $\Psi(P) = z$, o sea que $z = \frac{a}{1-c} + \frac{b}{1-c}i$, sabiendo que $z^{-1} = \frac{\bar{z}}{|z|^2}$, entonces,

$$z^{-1} = \left(\frac{a}{1-c} - \frac{b}{1-c}i \right) \frac{1}{|z|^2}$$

En la demostración anterior pudimos ver que $|z|^2 = \frac{1+c}{1-c}$, luego,

$$z^{-1} = \left(\frac{a}{1-c} - \frac{b}{1-c}i \right) \frac{1-c}{1+c}$$

$$z^{-1} = \left(\frac{a}{1+c} - \frac{b}{1+c}i \right)$$

$$z^{-1} = \left(\frac{a}{1-(-c)} + \frac{-b}{1-(-c)}i \right)$$

Lo que está del lado derecho de la igualdad es la proyección estereográfica del punto $(a, -b, -c)$, así que

$$\Psi(a, -b, -c) = z^{-1} \quad \square$$

Por lo que invertir z equivale (en la esfera) a enviar el punto (a, b, c) al $(a, -b, -c)$, entonces, sabiendo que el punto N se corresponde con ∞ y $S = (0, 0, -1)$ con 0 y que, en la esfera, N y S son uno el inverso del otro, esto nos dice que la noción de asignarle el valor ∞ a $\frac{1}{0}$ y el valor 0 a $\frac{1}{\infty}$ tiene “algo” de sentido en $\hat{\mathbb{C}}$.

Proposición 3.2.4

La proyección estereográfica envía circunferencias en \mathbb{S}^2 a circunferencias o rectas en \mathbb{C}

Demostración.

Sea Ψ la proyección estereográfica y $C \subseteq \mathbb{S}^2$ una circunferencia. Entonces existe un plano $\Pi \subseteq \mathbb{R}^3$, $\Pi : \alpha_1 x_1 + \alpha_2 x_2 + \alpha_3 x_3 = \alpha_4$, con $\alpha_i \in \mathbb{R}$, $i \in \{1, 2, 3, 4\}$ tal que $C = \Pi \cap \mathbb{S}^2$. Sea $P = (a, b, c) \in C$, esto implica que (a, b, c) soluciona las ecuaciones

$$\begin{cases} x_1^2 + x_2^2 + x_3^2 = 1 \\ \alpha_1 x_1 + \alpha_2 x_2 + \alpha_3 x_3 = \alpha_4 \end{cases}$$

Como Ψ es biyectiva, existe un número complejo $w = u + vi$ tal que $P = \Psi^{-1}(w)$, o sea que

$$\begin{cases} a = \frac{2u}{|w|^2 + 1} \\ b = \frac{2v}{|w|^2 + 1} \\ c = \frac{|w|^2 - 1}{|w|^2 + 1} \end{cases}$$

Reemplazamos estos valores en Π para ver qué forma tiene esto en el plano complejo

$$\alpha_1 \left(\frac{2u}{|w|^2 + 1} \right) + \alpha_2 \left(\frac{2v}{|w|^2 + 1} \right) + \alpha_3 \left(\frac{|w|^2 - 1}{|w|^2 + 1} \right) = \alpha_4$$

$$\alpha_1(2u) + \alpha_2(2v) + \alpha_3(|w|^2 - 1) = \alpha_4(|w|^2 + 1)$$

Reagrupando los términos que tienen $|w|^2$, llegamos a

$$(\alpha_3 - \alpha_4)|w|^2 + 2\alpha_1 u + 2\alpha_2 v = \alpha_3 + \alpha_4$$

Y esta ecuación es una circunferencia si $\alpha_3 \neq \alpha_4$, y una recta si ocurre lo contrario (notar que esto depende de si $(0, 0, 1) \in C$ o no). \square

Proposición 3.2.5

La imagen de cualquier circunferencia o recta por una homografía es una recta o una circunferencia (o sea, no necesariamente la imagen de una circunferencia es una circunferencia, ni la de una recta es una recta).

Demostración.

Basta con probarlo para las homografías básicas. Para traslaciones, homotecias o rotaciones esto es evidente, por lo que vamos a probar que se cumple para las inversiones. Sean $A, B, C, D \in \mathbb{R}$ y $z = x + yi \in \mathbb{C} - \{0\}$, la ecuación

$$A|z|^2 + B\operatorname{Re}(z) + C\operatorname{Im}(z) + D = 0$$

Representa una circunferencia si A es no nulo, y una recta en caso contrario. Sea $w = 1/z$, reemplazando

$$\frac{A}{|w|^2} + B\operatorname{Re}\left(\frac{1}{w}\right) + C\operatorname{Im}\left(\frac{1}{w}\right) + D = 0$$

$$\frac{A}{|w|^2} + B\frac{x}{|w|^2} + C\frac{-y}{|w|^2} + D = 0$$

Multiplicando por $|w|^2$

$$D|w|^2 - Cy + Bx + A = 0$$

Esto es una recta si D es nulo, y es una circunferencia en caso contrario. \square

Proposición 3.2.6

Sean $z_1, z_2, z_3 \in \hat{\mathbb{C}}$. Hay una única homografía f que satisface

$$f(z_1) = 0 \quad f(z_2) = 1 \quad f(z_3) = \infty$$

Demostración.

Sea f una homografía, $f(z) = \frac{az+b}{cz+d}$. Podemos encontrar a, b, c, d planteando estas ecuaciones

$$\begin{cases} f(z_1) = 0 \iff \frac{az_1+b}{cz_1+d} = 0 \iff az_1+b = 0 \iff z_1 = -\frac{b}{a} \\ f(z_3) = \infty \iff \frac{az_3+b}{cz_3+d} = \infty \iff cz_3+d = 0 \iff z_3 = -\frac{d}{c} \end{cases}$$

$$f(z) = \frac{az+b}{cz+d} = \frac{a}{c} \left(\frac{z + \frac{b}{a}}{z + \frac{d}{c}} \right) = \frac{a}{c} \frac{z - z_1}{z - z_3}$$

Podemos $f(z_2) = 1$

$$f(z_2) = \frac{a}{c} \left(\frac{z_2 - z_1}{z_2 - z_3} \right) = 1$$

$$\frac{a}{c} = \frac{z_2 - z_3}{z_2 - z_1}$$

Así que

$$f(z) = \left(\frac{z_2 - z_3}{z_2 - z_1} \right) \left(\frac{z - z_1}{z - z_3} \right) \quad \square$$

4. Derivabilidad, holomorfía y transformaciones conformes

En esta sección vamos a tratar la noción de derivada de una función compleja, al principio va a sernos muy familiar con la derivabilidad de funciones reales.

Definición 4.0

Sean $f : D \rightarrow \mathbb{C}$ con $D \subseteq \mathbb{C}$ y $z_0 \in D^\circ$. Decimos que f es *derivable* en z_0 si y solo si existe

$$\lim_{z \rightarrow z_0} \frac{f(z) - f(z_0)}{z - z_0} = \lim_{h \rightarrow 0} \frac{f(z_0 + h) - f(z_0)}{h}$$

De existir dicho límite, lo denotamos $f'(z_0)$.

Definición 4.1

Sean $f : D \rightarrow \mathbb{C}$. Definimos $u : \mathbb{R}^2 \rightarrow \mathbb{R}$, $v : \mathbb{R}^2 \rightarrow \mathbb{R}$ como

$$u(x, y) = \operatorname{Re}(f(x + yi)) \quad v(x, y) = \operatorname{Im}(f(x + yi))$$

Esto implica, naturalmente, que $f(x + yi) = u(x, y) + v(x, y)i$.

Proposición 4.0

Sean f, g funciones complejas tales que: existe $f \circ g$, f y g son derivables en z_0 punto interior del dominio de ambas funciones, y f es derivable en $g(z_0)$, entonces:

1. $(f(z_0) + g(z_0))' = f'(z_0) + g'(z_0)$
2. $(fg(z_0))' = f'(z_0)g(z_0) + f(z_0)g'(z_0)$
3. $(f \circ g)'(z_0) = f'(g(z_0))g'(z_0)$

(Notar que hay hipótesis que evidentemente no son necesarias para la validez de los 3 enunciados, pero quise agregarlas a todas de una sola vez).

Proposición 4.1

Sea $f : D \rightarrow \mathbb{C}$ con $z_0 \in D^\circ$. Son equivalentes:

1. f es derivable en z_0
2. Existe $L \in \mathbb{C}$ tal que para todo $\varepsilon > 0$ existe $\delta > 0$ con $\mathcal{B}_\delta(z_0) \subseteq D$ que verifica

$$|z - z_0| < \delta \rightarrow |f(z) - f(z_0) - L(z - z_0)| < \varepsilon |z - z_0|$$

Con $z \in \mathcal{B}_\delta(z_0)$

Para probar (1.) \rightarrow (2.) se puede usar la definición de que f sea derivable en z_0 y luego multiplicar a ambos lados de la desigualdad por $|z - z_0|$. Para (2.) \rightarrow (1.) se puede aplicar el proceso inverso para recuperar la definición de derivabilidad de f en z_0 .

Corolario

Sea f derivable en z_0 , entonces f es continua en z_0 .

Proposición 4.2 (Condiciones de Cauchy-Riemann)

Sea $f : D \rightarrow \mathbb{C}$ con $z_0 = x_0 + y_0 i \in D^\circ$. Son equivalentes:

1. f es derivable en z_0
2. u, v son diferenciables en (x_0, y_0) y sus derivadas parciales verifican que

$$u_x(x_0, y_0) = v_y(x_0, y_0)$$

$$u_y(x_0, y_0) = -v_x(x_0, y_0)$$

Demostración.

(1.) \rightarrow (2.): Sea f derivable en $z_0 = x_0 + y_0 i$ con $f'(z_0) = a + bi$ y $\varepsilon > 0$, entonces, hay un real positivo δ tal que, si $|z - z_0| < \delta$,

$$|f(z) - f(z_0) - f'(z_0)(z - z_0)| < \varepsilon |z - z_0|$$

Lo que está del lado izquierdo de la desigualdad es, para cada z , el módulo un número complejo. Por ende, sabemos que es menor o igual que el módulo de su parte real

$$|\operatorname{Re}(f(z) - f(z_0) - f'(z_0)(z - z_0))| \leq |f(z) - f(z_0) - f'(z_0)(z - z_0)| < \varepsilon |z - z_0|$$

Antes de seguir, calculamos $f'(z_0)(z - z_0)$

$$f'(z_0)(z - z_0) = (a + bi)((x - x_0) + (y - y_0)i) = a(x - x_0) + (y - y_0)ai + (x - x_0)bi - b(y - y_0)$$

$$f'(z_0)(z - z_0) = a(x - x_0) - b(y - y_0) + (a(y - y_0) + b(x - x_0))i$$

Volviendo a la desigualdad, $\operatorname{Re}()$ distribuye respecto de la suma, entonces

$$|\operatorname{Re}(f(z)) - \operatorname{Re}(f(z_0)) - \operatorname{Re}(f'(z_0)(z - z_0))| < \varepsilon |z - z_0|$$

$$|u(x, y) - u(x_0, y_0) - [a(x - x_0) - b(y - y_0)]| < \varepsilon \sqrt{(x - x_0)^2 + (y - y_0)^2}$$

Esta es la definición de que $u(x, y)$ sea diferenciable en (x_0, y_0) (recordar el límite de diferenciabilidad de Análisis I).

Además, sabemos por ello que $u_x(x_0, y_0) = a$ y $u_y(x_0, y_0) = -b$

Procediendo exactamente igual pero tomando $\operatorname{Im}()$, llegamos a

$$|v(x, y) - v(x_0, y_0) - [b(x - x_0) + a(y - y_0)]| < \varepsilon \sqrt{(x - x_0)^2 + (y - y_0)^2}$$

Esto significa que $v(x, y)$ es diferenciable en (x_0, y_0) y que $v_x(x_0, y_0) = b$ y $v_y(x_0, y_0) = a$, como se quería probar.

(2.) \rightarrow (1.): Sean $\Delta x = (x - x_0)$ y $\Delta y = (y - y_0)$. Supongamos las condiciones de (2.). Entonces sabemos que, simultáneamente:

$$u(x, y) = u(x_0, y_0) + u_x \Delta x + u_y \Delta y + E_u$$

$$v(x, y) = v(x_0, y_0) + v_x \Delta x + v_y \Delta y + E_v$$

Con E_u, E_v tales que

$$\lim_{\substack{\Delta x \rightarrow 0 \\ \Delta y \rightarrow 0}} \frac{E_u}{\sqrt{\Delta x^2 + \Delta y^2}} = \lim_{\substack{\Delta x \rightarrow 0 \\ \Delta y \rightarrow 0}} \frac{E_v}{\sqrt{\Delta x^2 + \Delta y^2}} = 0$$

Todas las derivadas parciales están evaluadas en (x_0, y_0) pero por comodidad lo vamos a obviar.

$$f(z) - f(z_0) = (u(x, y) - u(x_0, y_0)) + (v(x, y) - v(x_0, y_0))i = (u_x \Delta x + u_y \Delta y + E_u) + (v_x \Delta x + v_y \Delta y + E_v)i$$

Escribiendo todo en función de u_x y v_x

$$f(z) - f(z_0) \underset{C-R}{=} (u_x \Delta x - v_x \Delta y) + (v_x \Delta x + u_x \Delta y)i + E_u + E_v i$$

$$f(z) - f(z_0) = u_x \Delta x + v_x \Delta x i + u_x \Delta y i - v_x \Delta y + E_u + E_v i$$

Factorizando $(u_x + v_x i)$

$$f(z) - f(z_0) = (u_x + v_x i)(\Delta x + \Delta y i) + E_u + E_v i$$

Dividiendo ambos lados por $z - z_0 = \Delta x + \Delta y i$

$$\frac{f(z) - f(z_0)}{z - z_0} = u_x + v_x i + \frac{E_u + E_v i}{(x - x_0) + (y - y_0)i}$$

Tomando límite con $z \rightarrow z_0$ (equivalente a $\Delta x, \Delta y \rightarrow 0$ y $(x, y) \rightarrow (x_0, y_0)$).

$$\lim_{z \rightarrow z_0} \frac{f(z) - f(z_0)}{z - z_0} = u_x + u_y i + \lim_{\substack{\Delta x \rightarrow 0 \\ \Delta y \rightarrow 0}} \frac{E_u + E_v i}{(x - x_0) + (y - y_0)i}$$

Afirmo que el límite de la suma de los errores E_u, E_v tiende a 0, para eso basta con que en módulo también lo haga.

$$0 \leq \frac{|E_u + E_v i|}{|(x - x_0) + (y - y_0)i|} \leq \frac{|E_u|}{\sqrt{(x - x_0)^2 + (y - y_0)^2}} + \frac{|E_v i|}{\sqrt{(x - x_0)^2 + (y - y_0)^2}}$$

$$\frac{|E_u|}{\sqrt{(x - x_0)^2 + (y - y_0)^2}} + \frac{|E_v i|}{\sqrt{(x - x_0)^2 + (y - y_0)^2}} = \frac{|E_u|}{\sqrt{(x - x_0)^2 + (y - y_0)^2}} + \frac{|E_v|}{\sqrt{(x - x_0)^2 + (y - y_0)^2}}$$

Y tomando límite vemos que ambos términos de la suma tienden a 0 (por la definición de E_u y E_v). Luego,

$$\lim_{z \rightarrow z_0} \frac{f(z) - f(z_0)}{z - z_0} = u_x(x_0, y_0) + v_x(x_0, y_0)i \quad \square$$

Definición 4.2

Sean $f : D \rightarrow \mathbb{C}$ y $z_0 \in D^\circ$. Decimos que f es holomorfa en z_0 si hay $r > 0$ tal que f es derivable en $\mathcal{B}_r(z_0) \subseteq D$.
Decimos que f es holomorfa si es holomorfa en todo elemento de D .

Proposición 4.3

Sea $f : D \rightarrow \mathbb{C}$ con D abierto y conexo (llamamos *dominio* a estos conjuntos) y f holomorfa. Si $u(x, y)$ es constante, entonces f es constante

Demostración.

Como f es holomorfa, en particular es derivable, entonces valen las condiciones de Cauchy-Riemann.

$$\begin{cases} u_x(x, y) = 0 = -v_y(x, y) \\ u_y(x, y) = 0 = v_x(x, y) \end{cases}$$

Al ser D abierto y conexo, puedo integrar cada derivada parcial, y esto me dice que f es constante pues u y v lo son. \square

Proposición 4.4

Sea $f : D \rightarrow \mathbb{C}$ holomorfa con D dominio. Si $|f|$ es constante, f es constante.

Demostración.

Supongamos que $|f|$ es no nulo, de serlo, el enunciado es trivialmente cierto. Entonces hay un real positivo k tal que $|f| = k$. Luego, $|f|^2 = u(x, y)^2 + v(x, y)^2 = k^2$. Derivando respecto de x y de y

$$\begin{cases} 2u(x, y)u_x(x, y) + 2v(x, y)v_x(x, y) = 2u(x, y)u_x(x, y) + 2v(x, y)v_x(x, y) = 0 \\ 2u(x, y)u_y(x, y) + 2v(x, y)v_y(x, y) \stackrel{\text{C-R}}{=} 2u(x, y)(-v_x(x, y)) + 2v(x, y)u_x(x, y) = 0 \end{cases}$$

Esto se puede traducir al siguiente sistema matricial (luego de dividir por 2 a ambos lados).

$$\begin{pmatrix} u_x & v_x \\ -v_x & u_x \end{pmatrix} \begin{pmatrix} u \\ v \end{pmatrix} = \begin{pmatrix} 0 \\ 0 \end{pmatrix}$$

Como $|f|^2 = k^2 > 0$, entonces u y v no son ambos nulos, esto implica que la matriz es singular, así que su determinante es 0, es decir,

$$u_x^2 + v_x^2 = 0 \longrightarrow u_x \stackrel{\text{C-R}}{=} v_y = 0, \quad v_x \stackrel{\text{C-R}}{=} -u_y = 0$$

Las derivadas parciales son todas iguales a cero, por lo que u y v son constantes y, en consecuencia, f también. \square

Asumamos a partir de ahora que u, v son indefinidamente diferenciables.

Definición 4.3

Sea $u : D \subseteq \mathbb{R}^2 \longrightarrow \mathbb{R}$. Decimos que u es armónica si $u_{xx} + u_{yy} = 0$ (laplaciano nulo).

Proposición 4.5

Sean $D \subseteq \mathbb{R}^2$ subconjunto simplemente conexo (“sin agujeros”) y $u : D \longrightarrow \mathbb{R}$ armónica. Existe $v : D \longrightarrow \mathbb{R}$ armónica tal que $f(z) = u(x, y) + v(x, y)i$ es holomorfa en D . v recibe el nombre de *armónica conjugada*. Si existe \tilde{v} que también cumple entonces $v(x, y) - \tilde{v}(x, y) = w \in \mathbb{C}$.

Demostración. (Idea)

Sean $D \subseteq \mathbb{R}^2$ subconjunto simplemente conexo y $u : D \longrightarrow \mathbb{R}$ armónica. Queremos hallar $v : D \longrightarrow \mathbb{R}$ armónica tal que $\nabla v = (v_x, v_y) = (-u_y, u_x)$. Pedir esto bastaría para que f sea holomorfa pues por C-R sería derivable en todo punto, y también haría que v sea armónica ya que para u vale el teorema de Clairaut (las derivadas cruzadas son iguales). Para que un campo vectorial (en este caso $(-u_y, u_x)$) sea el gradiente de alguna función (la función v que buscamos), es necesario que el rotacional/rotor de dicho campo sea nulo.

$$\text{rot}(-u_y, u_x) = u_{xx} - (-u_{yy}) = u_{xx} + u_{yy} = 0$$

Vemos que la condición se satisface por ser u armónica. Además, esta se vuelve también suficiente si suponemos que D es simplemente conexo.

Ejemplo. Probar que la función $u(x, y) = \sin(x)\cosh(y)$ es armónica y hallar su armónica conjugada.

Sea $u(x, y) = \sin(x)\cosh(y) \in C^\infty(\mathbb{R}^2)$, entonces,

$$u_{xx}(x, y) = -\sin(x)\cosh(y) \quad u_{yy}(x, y) = \sin(x)\cosh(y)$$

Es claro que $u_{xx} + u_{yy} = 0$. Por ende, existe v armónica conjugada. Para que f sea holomorfa basta con que se cumplan las condiciones de Cauchy-Riemann. Pedimos que valgan las siguientes igualdades:

$$\begin{cases} u_x(x, y) = \cos(x)\cosh(y) = v_y(x, y) \\ u_y(x, y) = \sin(x)\sinh(y) = -v_x(x, y) \end{cases}$$

$$\int v_y dy = \int \cos(x)\cosh(y) dy = \cos(x)\sinh(y) + g(x)$$

$$\int -v_x dx = - \int \sin(x)\sinh(y) dx = -(-\cos(x))\sinh(y) + h(y) = \cos(x)\sinh(y) + h(y)$$

Derivando respecto de x el resultado de la primera integral e igualando a $-u_y$:

$$-\sin(x)\sinh(y) + g'(x) = -\sin(x)\sinh(y) \rightarrow g'(x) = 0$$

Y derivando respecto de y el resultado de la segunda integral e igualando a u_x

$$\cos(x)\cosh(y) + h'(y) = \cos(x)\cosh(y) \rightarrow h'(y) = 0$$

Ambas funciones son constantes, podemos tomar ambas iguales a 0. Así que:

$$v(x, y) = \cos(x)\sinh(y)$$

Proposición 4.6

Sea $f : D \rightarrow \mathbb{C}$ holomorfa en D abierto conexo de \mathbb{R}^2 tal que su imagen está contenida en una recta. Entonces, f es constante.

Demostración.

Sea $f(x, y) = u(x, y) + v(x, y)i$ holomorfa en D , como su imagen está contenida en una recta, hay números reales a, b, c con a y b no ambos nulos, tales que, para todo $(x, y) \in \mathbb{R}^2$:

$$au(x, y) + bv(x, y) = c$$

Derivando respecto de x y también respecto de y , tenemos que:

$$\begin{cases} au_x(x, y) + bv_x(x, y) = 0 \\ au_y(x, y) + bv_y(x, y) = 0 \end{cases} \stackrel{C-R}{=} \begin{cases} -av_x(x, y) + bu_x(x, y) = 0 \\ -av_y(x, y) + bu_y(x, y) = 0 \end{cases}$$

Esto puede traducirse al siguiente sistema matricial:

$$\begin{pmatrix} a & b \\ b & -a \end{pmatrix} \begin{pmatrix} u_x \\ v_x \end{pmatrix} = \begin{pmatrix} 0 \\ 0 \end{pmatrix}$$

El determinante de la matriz de coeficientes es $-(a^2 + b^2)$ que es no nulo pues sabemos que $a \neq 0$ o $b \neq 0$. Así que solo puede ser que $u_x, v_x = 0$ que por C-R son iguales a v_y y $-u_y$ respectivamente. Como todas las derivadas parciales son nulas, u y v son constantes, y por ende f lo es. \square

Definición 4.4

Sea $f : \mathbb{R}^2 \rightarrow \mathbb{R}^2$. Decimos que f es un *difeomorfismo* si es diferenciable, biyectiva y con inversa diferenciable.

Definición 4.5

Sea $f : D \rightarrow \mathbb{R}^2$ con $D \subseteq \mathbb{R}^2$. Decimos que f es una *transformación conforme* si, dado un par de curvas $\gamma(t)$, $\sigma(t)$ de dominio $[a, b] \in \mathbb{R}$ que se intersectan en z_0 formando un ángulo α , la imagen de las mismas por f preserva ese mismo ángulo. Es decir, si notamos como $\theta(v, w)$ al ángulo entre los vectores v y w , y $t_0 \in [a, b]$ es tal que $\sigma(t_0), \gamma(t_0) = z_0$ entonces vale que

$$\alpha = \theta(\sigma'(t_0), \gamma'(t_0)) = \theta((f \circ \sigma)'(t_0), (f \circ \gamma)'(t_0))$$

Con σ, γ diferenciables en t_0 y f diferenciable en z_0 .

Consideramos a las siguientes como las transformaciones conformes elementales de \mathbb{R}^n :

1. $f(x) = \lambda x$, λ escalar no nulo (homotecia)
2. $f(x) = x + \alpha$, $\alpha \in \mathbb{R}^n$ (traslación)
3. $f(x) = Ux$ con $U \in \mathbb{R}^{n \times n}$ ortogonal
4. $f(x) = \frac{x}{||x||^2}$, con $x \neq 0$ (En \mathbb{R}^2 esto equivale a la inversión de un número complejo z)

Observación 4.0

Decimos que f es conforme en un punto específico $z_0 \in \mathbb{C}$ si la condición de arriba se cumple para curvas que se intersectan en z_0 .

Definición 4.6

Sea $\gamma \subseteq \mathbb{R}^2$ una curva y $\sigma : [a, b] \rightarrow \mathbb{R}^2$ con $\sigma \in C^1$ la parametrización de la misma. Definimos la *longitud* de la curva σ como:

$$\text{Long}(\sigma) = \int_a^b ||\sigma'(t)|| dt$$

Definición 4.7

Sea $f : \mathbb{R}^2 \rightarrow \mathbb{R}^2$. Decimos que f es una *isometría* si, dada $\sigma \subseteq \mathbb{R}^2$ curva, $f(\gamma)$ y γ tienen la misma longitud.

Ahora vamos a concentrarnos brevemente en las transformaciones lineales conformes. Nos van a interesar las $T : \mathbb{R}^2 \rightarrow \mathbb{R}^2$ lineales tales que, para todos $v, w \in \mathbb{R}^2$:

$$\frac{Tv \cdot Tw}{||Tv|| ||Tw||} = \frac{v \cdot w}{||v|| ||w||}$$

Esto equivale a que el ángulo entre v y w sea igual al que hay entre Tv y Tw , pues \cos^{-1} es biyectivo.

Observación 4.1

Si T es una transformación lineal ortogonal, entonces es conforme.

Las transformaciones lineales ortogonales preservan el producto interno (Para todos $v, w \in \mathbb{R}^2$, $\langle v, w \rangle = \langle Tv, Tw \rangle$) y por ende también la norma.

Definición 4.8

Sea $U \in \mathbb{R}^{2 \times 2}$, decimos que U es ortogonal si, dada $\{v, w\}$ base ortonormal de \mathbb{R}^2 , $\{Uv, Uw\}$ es también una base ortonormal.

(Tomamos 2×2 pero también es cierto en general para matrices de $n \times n$).

Proposición 4.7

Sea $T \in \mathbb{R}^{2 \times 2}$ y $f : \mathbb{R}^2 \xrightarrow{v \mapsto Tv} \mathbb{R}^2$ transformación lineal, son equivalentes:

1. $T = \lambda U$ con U ortogonal.
2. f es conforme.

Demostración.

(1.) \rightarrow (2.): Se deduce de la observación anterior.

(2.) \rightarrow (1.): Sea $\{v, w\}$ base ortonormal de \mathbb{R}^2 , sabemos que entonces $\{Tv, Tw\}$ son ortogonales. Sea $\alpha = \|Tv\|$ y $\beta = \|Tw\|$.

$$(v + w) \cdot (v - w) = v \cdot v + w \cdot v - w \cdot v - w \cdot w = \|v\|^2 - \|w\|^2 = 1 - 1 = 0$$

Al ser f conforme, sabemos entonces que

$$f(v + w) \cdot f(v - w) = (Tv + Tw) \cdot (Tv - Tw) = 0$$

$$Tv \cdot Tv + Tv \cdot Tw - Tw \cdot Tv - Tw \cdot Tw = \|Tv\|^2 - \|Tw\|^2 = 0 \iff (\|Tv\| - \|Tw\|)(\|Tv\| + \|Tw\|) = 0$$

Como ambos números son reales positivos, solo puede ser que

$$\|Tv\| = \|Tw\|, \text{ es decir, } \alpha = \beta$$

Definimos $U = \alpha^{-1}T$. $\{Uv, Uw\}$ sigue siendo ortogonal pues U es un múltiplo de T , pero además:

$$\|Uv\| = |\alpha^{-1}| \|Tv\| = |\alpha^{-1}| \alpha = 1 = \|Uw\|$$

Como $\{Uv, Uw\}$ es una base ortonormal, T es ortogonal. \square

Proposición 4.8

Sea $f : D \rightarrow \mathbb{R}^2$ con f difeomorfismo y $D \subseteq \mathbb{R}^2$ abierto y conexo. Entonces f es conforme si y solo si f es holomorfa o \bar{f} es holomorfa.

Teorema 4.0 (Teorema de Liouville para transformaciones conformes)

Sea $f : D \rightarrow \mathbb{R}^2$ con $D \subseteq \mathbb{R}^2$ conforme. Entonces es composición de algunas de las transformaciones conformes elementales (no más de una de cada una).

Definición 4.9

Sean $D \subseteq \mathbb{C}$, $A \subseteq \mathbb{R}$, $f : D \rightarrow \mathbb{C}$ y $g : A \rightarrow \mathbb{R}$. Decimos que f es una *extensión al plano complejo* de g si

$$f(x + 0i) = g(x)$$

Y a continuación listamos funciones que extienden al plano complejo a funciones conocidas:

1. $\cos(z) = \cos(x)\cosh(y) - i\sin(x)\sinh(y)$
2. $\sin(z) = \sin(x)\cosh(y) + i\cos(x)\sinh(y)$

$$3. e^z = e^x(\cos(y) + i\operatorname{sen}(y))$$

$$4. \cosh(z) = \frac{e^z + e^{-z}}{2}$$

$$5. \sinh(z) = \frac{e^z - e^{-z}}{2}$$

Notemos que la exponencial compleja no es inyectiva debido a que el seno y el coseno son funciones periódicas. Además de eso, notar que es sobreyectiva salvo por el 0. Veamos qué ocurre si quisiéramos definir un *logaritmo complejo*:

Sea $w \in \mathbb{C}$, entonces $e^z = w$ si y solo si

$$|w| = |e^z| = e^x \implies x = \ln(|w|)$$

$$\arg(w) = \arg(e^z) = y + 2k\pi, \quad k \in \mathbb{Z}$$

El problema es claro: hay infinitos valores posibles para $\arg(e^z)$ de manera que este coincida con el argumento de w . Sin embargo, podemos considerar esta restricción para la exponencial compleja

$$\exp() : \mathbb{R} \times (-\pi, \pi] \longrightarrow \mathbb{C} - \{0\} \text{ dada por } \exp(x, y) = e^x(\cos(y) + i\operatorname{sen}(y))$$

Evidentemente es la misma función, solo que nos restringimos al *argumento principal*. De esta manera conseguimos que e^z sea inyectiva.

Definición 4.10

Sea $z \in \mathbb{C}$ con $z = x + yi$. Definimos con esta función al argumento principal de z , denotado por $\operatorname{Arg}(z)$:

$$\operatorname{Arg}(z) = \begin{cases} \cos^{-1}\left(\frac{x}{\sqrt{x^2 + y^2}}\right) & \text{si } y \geq 0 \\ -\cos^{-1}\left(\frac{x}{\sqrt{x^2 + y^2}}\right) & \text{si } y < 0 \end{cases}$$

Notar que esta función no es continua en la semirecta de reales negativos (si me acerco a un número real $x_0 < 0$ desde los complejos con parte imaginaria positiva, el valor de su argumento principal tiende a π , pero si me acerco desde los que tienen parte imaginaria negativa, este último tiende a $-\pi$). Sin considerar a todo ese conjunto de discontinuidad, Arg es C^1 .

Definición 4.11

Definimos al logaritmo complejo $\operatorname{Log} : \mathbb{C} - \mathbb{R}_{\leq 0} \longrightarrow \mathbb{C}$ como

$$\operatorname{Log}(z) = \ln(|z|) + i\operatorname{Arg}(z)$$

Vía Cauchy-Riemann se puede verificar rápidamente que esta función es derivable en todo su dominio y por ende es holomorfa.

Definición 4.12

Sea D abierto conexo de \mathbb{C} , una función $f : D \longrightarrow \mathbb{C}$ se llama *raíz n -ésima holomorfa* si es holomorfa y además

$$(f(z))^n = z \quad \text{para todo } z \in D$$

Y recibe el nombre de *rama del logaritmo* si es continua y

$$e^{f(z)} = z \quad \text{para todo } z \in D$$

Proposición 4.8

Sean $D \subseteq \mathbb{C}$, $f : D \rightarrow \mathbb{C}$ y $z_0 \in D^\circ$. Si f es holomorfa en z_0 y $f'(z_0) \neq 0$, entonces f es conforme en z_0 .

Esto nos otorga una cómoda manera de verificar si una función holomorfa es conforme en un punto.

5. Series de potencias

5.1. Series numéricas y criterios de convergencia

Definición 5.1.0

Sea $\{a_n\}_{n \in \mathbb{N}_0}$ sucesión de complejos. Decimos que $\sum a_n$ converge si existe $\lim_{j \rightarrow \infty} \sum_{n=0}^j a_n$ y denotamos $\sum_{n=0}^{\infty} a_n$ a dicho límite.

Además, si consideramos $\{|a_n|\}_{n \in \mathbb{N}_0}$ y resulta ser que $\sum_{n=0}^{\infty} |a_n| = L < +\infty$, decimos que $\sum a_n$ converge absolutamente.

Proposición 5.1.0

Sea $\{a_n\}_{n \in \mathbb{N}_0} \subseteq \mathbb{C}$. Si $\sum a_n$ converge absolutamente, entonces $\sum a_n$ converge.

Demostración.

Sean m y n naturales o cero tales que $m < n$, $S_n = \sum_{m=0}^n a_n$ y $\sigma_n = \sum_{m=0}^n |a_n|$

$$|S_n - S_m| = \left| \sum_{j=0}^n a_j - \sum_{j=0}^m a_j \right| = \left| \sum_{j=m+1}^n a_j \right| \leq \sum_{j=m+1}^n |a_j| = \sigma_n - \sigma_m = |\sigma_n - \sigma_m|$$

Como la serie converge absolutamente, $|\sigma_n - \sigma_m|$ se puede hacer arbitrariamente cercano a 0. \square

A continuación enlistamos varios criterios útiles para analizar la convergencia de series.

Proposición 5.1.1 (Comparación de la mayorante)

Sean $\{a_n\}$, $\{b_n\}$ sucesiones de reales positivos tales que $a_n \leq b_n$, entonces,

1. Si $\sum b_n$ converge, entonces $\sum a_n$ converge.
2. Si $\sum_{n=0}^{\infty} a_n = +\infty$, entonces $\sum_{n=0}^{\infty} b_n = +\infty$.

Proposición 5.1.2 (Criterio de la raíz n -ésima de Cauchy)

Sea $\{a_n\}$ suc. de complejos y $\alpha = \limsup_{n \rightarrow \infty} |a_n|^{1/n}$, entonces,

1. Si $\alpha < 1$, $\sum a_n$ converge absolutamente.
2. Si $\alpha > 1$, $\sum a_n$ no converge.
3. Si $\alpha = 1$, el criterio no es concluyente.

Proposición 5.1.3 (Criterio de D'Alembert)

Sea $\{a_n\}$ suc. de complejos y sea $\beta = \limsup_{n \rightarrow \infty} \left| \frac{a_{n+1}}{a_n} \right|$, entonces,

1. Si $\beta < 1$, $\sum a_n$ converge absolutamente.
2. Si $\beta > 1$, $\sum a_n$ no converge.
3. Si $\beta = 1$, el criterio no es concluyente.

Proposición 5.1.4 (Criterio de comparación)

Sean $\{a_n\}, \{b_n\}$ sucesiones de reales positivos, entonces,

1. Si $\lim_{n \rightarrow \infty} \frac{a_n}{b_n} = c > 0$, entonces $\sum a_n, \sum b_n$ convegen o $\sum_{n=0}^{\infty} a_n, \sum_{n=0}^{\infty} b_n = +\infty$.
2. Si $\lim_{n \rightarrow \infty} \frac{a_n}{b_n} = 0$ y $\sum b_n$ converge, entonces $\sum a_n$ también.
3. Si $\lim_{n \rightarrow \infty} \frac{a_n}{b_n} = +\infty$ y $\sum_{n=0}^{\infty} b_n = +\infty$, entonces $\sum_{n=0}^{\infty} a_n = +\infty$.

Proposición 5.1.5 (Criterio de la integral)

Sea $\{a_n\}$ suc. de reales no negativos y $f : [0, +\infty) \rightarrow [0, +\infty)$ continua y decreciente tal que $f(n) = a_n$ para todo $n \in \mathbb{N}_0$, entonces $\sum a_n$ converge si y solo si $\int_0^{\infty} f(t)dt$ converge.

Definición 5.1.1

Sea $z \in \mathbb{C}$ y $a_n = z^n$, la suma

$$1 + z + z^2 + \dots + z^n = \sum_{k=0}^n z^k$$

Recibe el nombre de *suma geométrica*. Cuando tomamos $n \rightarrow \infty$, recibe el nombre de, naturalmente, *serie geométrica*.

Si $z \neq 1$, vale que

$$\sum_{k=0}^n z^k = \frac{1 - z^{n+1}}{1 - z}$$

Y más aún, si $|z| < 1$, la serie $\sum_{k=0}^{\infty} z^k$ es convergente y converge a $\frac{1}{1 - z}$.

Definición 5.1.2

Si $\{a_n\}, \{b_n\}$ dos suc. de complejos. Definimos como *producto de Cauchy* a la suma

$$c_k = \sum_{j=0}^k a_{k-j} b_j$$

Proposición 5.1.6

Sean $\{a_n\}, \{b_n\}$ suc. de complejos tales que $\sum a_n$ y $\sum b_n$ son absolutamente convergentes, entonces $\sum c_k$ (producto de Cauchy) es absolutamente convergente y además

$$\sum_{k=0}^{\infty} |c_k| \leq \left(\sum_{k=0}^{\infty} |a_k| \right) \left(\sum_{k=0}^{\infty} |b_k| \right)$$

Demostración.

$$|c_0| \leq |a_0 b_0|$$

$$|c_1| \leq |a_0 b_1| + |a_1 b_0|$$

$$|c_2| \leq |a_0 b_2| + |a_1 b_1| + |a_2 b_0|$$

$$\vdots$$

$$|c_n| \leq |a_0 b_n| + |a_1 b_{n-1}| + \dots + |a_n b_0|$$

Luego,

$$\sum_{k=0}^n |c_k| \leq \sum_{j=0}^n \sum_{m=0}^{n-j} |a_j| |b_m| = \sum_{j=0}^n |a_j| \left(\sum_{m=0}^{n-j} |b_m| \right) \leq \sum_{j=0}^n |a_j| \left(\sum_{m=0}^{\infty} |b_m| \right)$$

Tomando $n \rightarrow \infty$,

$$\sum_{k=0}^{\infty} |c_k| \leq \left(\sum_{k=0}^{\infty} |a_k| \right) \left(\sum_{k=0}^{\infty} |b_k| \right) \quad \square$$

Proposición 5.1.7 (Suma por partes)

Sean $\{a_n\}, \{b_n\}$ suc. de complejos y $A_n = \sum_{k=0}^n a_k$, entonces,

$$\sum_{n=k}^N a_n b_n = A_N b_N - A_{k-1} b_k - \sum_{n=k}^{N-1} A_n (b_{n+1} - b_n)$$

Demostración.

$$\begin{aligned} \sum_{n=k}^N a_n b_n &= \sum_{n=k}^N (A_n - A_{n-1}) b_n = \sum_{n=k}^N A_n b_n - \sum_{n=k}^N A_{n-1} b_n = A_N b_N - A_{k-1} b_k + \sum_{n=k}^{N-1} A_n b_n - \sum_{n=k+1}^N A_{n-1} b_n \\ A_N b_N - A_{k-1} b_k + \sum_{n=k}^{N-1} A_n b_n - \sum_{n=k+1}^N A_{n-1} b_n &= A_N b_N - A_{k-1} b_k + \sum_{n=k}^{N-1} A_n b_n - \sum_{n=k}^{N-1} A_n b_{n+1} \\ A_N b_N - A_{k-1} b_k + \sum_{n=k}^{N-1} A_n b_n - \sum_{n=k}^{N-1} A_n b_{n+1} &= A_N b_N - A_{k-1} b_k + \sum_{n=k}^{N-1} A_n (b_n - b_{n+1}) = A_N b_N - A_{k-1} b_k - \sum_{n=k}^{N-1} A_n (b_{n+1} - b_n) \quad \square \end{aligned}$$

Proposición 5.1.8 (Criterio de Dirichlet)

Sea $\{a_n\}$ suc. de reales con $a_{n+1} \leq a_n$ y $a_n \rightarrow 0$ y $\{b_n\}$ suc. de complejos tal que $B_n = \left| \sum_{k=0}^n b_k \right| \leq C$, entonces, $\sum a_n b_n$ es convergente.

Demostración.

$$\left| \sum_{k=0}^N a_k b_k \right| \leq |B_N a_N| + \sum_{n=0}^{N-1} |B_n| |a_{n+1} - a_n| \leq C |a_N| - C \sum_{n=0}^{N-1} (a_{n+1} - a_n) = C |a_N| - C a_N + C a_0$$

Tomando $N \rightarrow \infty$ (sabemos que $a_n \rightarrow 0$)

$$\left| \sum_{k=0}^{\infty} a_k b_k \right| \leq C a_0 \quad \square$$

Observación 5.1.0

Sea $\{a_n\}$ sucesión de reales no negativos decreciente tal que $a_n \rightarrow 0$. Entonces $\sum a_n z^n$ converge absolutamente si $|z| < 1$, y converge si $|z| = 1$ pero $z \neq 1$.

5.2. Series de funciones

Definición 5.2.0

Sea $\{f_n\}$ suc. de funciones con $f_n : D \rightarrow \mathbb{C}$ (D subconjunto de los reales o los complejos según el caso). Definimos $S_n(z) := \sum_{k=0}^n f_k(z)$.

Decimos que $\sum f_n$ converge (puntualmente) si, para todo $z \in D$, $\sum f_n(z)$ converge. Se suele ponerle de nombre $S(z)$ a dicho límite. Es decir, para cada $\varepsilon > 0$ y z fijo, hay $n_0 \in \mathbb{N}_0$ tal que

$$|S_n(z) - S(z)| < \varepsilon$$

Si $n \geq n_0$.

Si dicha convergencia es absoluta, decimos que $\sum f_n$ converge absolutamente. Análogamente, $\sum f_n$ converge uniformemente si, para cada $\varepsilon > 0$, existe un $n_0 \in \mathbb{N}_0$ tal que, para todo $z \in D$

$$|S_n(z) - S(z)| < \varepsilon$$

Si $n \geq n_0$. La idea es que puedo acotar uniformemente la distancia entre S_n y S independientemente del valor en el que se evalúen.

Proposición 5.2.0

Sea $\{f_n\}$ suc. de funciones tal que, para todo $n \in \mathbb{N}$, $f_n : D \rightarrow \mathbb{C}$ es continua. Si $S_n \rightarrow S$ uniformemente en D , entonces S es continua.

Demostración. (Idea)

Sea $z_0 \in D$ fijo, $\varepsilon > 0$ y $z \in D$

$$|S(z) - S(z_0)| = |S(z) - S_n(z) + S_n(z) - S_n(z_0) + S_n(z_0) - S(z_0)| \leq |S(z) - S_n(z)| + |S_n(z) - S_n(z_0)| + |S_n(z_0) - S(z_0)|$$

El primer término puede acotarse por $\varepsilon/3$ tomando $n \geq n_0$ (existe por la convergencia uniforme de S_n), por continuidad (S_n es una suma de $n+1$ funciones continuas) se puede lograr lo mismo con el segundo término (existe $\delta > 0$ que permite acotarlo por $\varepsilon/3$ si $|z - z_0| < \delta$), y lo propio ocurre con el último, tomando $n \geq n_1$, pero esta vez porque $S_n(z_0) \rightarrow S(z_0)$ (convergencia uniforme implica convergencia puntual). Bastaría escribir todo esto un poco mejor y tomar como δ el mismo que funciona para acotar $|S_n(z) - S_n(z_0)|$.

Proposición 5.2.1 (Criterio de Weierstrass o M-test)

Sea $\{f_n\}$ suc. de funciones con $f_n : D \rightarrow \mathbb{C}$ tal que

1. Para cada n natural existe $M_n \in \mathbb{R}_{\geq 0}$ que cumple que $|f_n(z)| \leq M_n$ para todo $z \in D$.
2. $\sum M_n$ converge.

Entonces, $\sum f_n$ converge uniformemente.

Definición 5.2.1

Sea $\{f_n\}$ suc. de funciones con $f_n : D \rightarrow \mathbb{C}$ continuas para todo natural n . Decimos que $\sum f_n$ converge normalmente si, para cualquier $K \subseteq D$ compacto y, definiendo $\|f_n\|_K = \sup_{z \in K} |f_n(z)|$, vale que

$$\sum_{n=0}^{\infty} \|f_n\|_K < +\infty$$

Definición 5.2.2

Sea $\{a_n\}$ suc. de complejos, $z_0 \in \mathbb{C}$ fijo y $z \in \mathbb{C}$. La serie

$$S(z) := \sum_{n=0}^{\infty} a_n (z - z_0)^n$$

Es una serie de funciones que recibe el nombre de *serie de potencias*.

Por ahora consideramos a las series centradas en 0 ($z_0 = 0$).

Proposición 5.2.2 (Lema de Abel)

Sea $\{a_n\}$ suc. de complejos y $z_0 \in \mathbb{C} - \{0\}$ tal que $\sum a_n z_0^n$ converge. Entonces, $\sum a_n z^n$ converge uniforme y absolutamente en $\overline{\mathcal{B}_r(0)}$ para todo $r < |z_0|$.

Demostración.

Sea $\{a_n\}$ suc. de complejos y $z_0 \in \mathbb{C} - \{0\}$ tal que $\sum a_n z_0^n$ converge. Luego, $a_n z_0^n \rightarrow 0$ y entonces $|a_n z_0^n| \leq C$. Sea $r < |z_0|$ y $z \in \overline{\mathcal{B}_r(0)}$

$$|a_n z^n| = |a_n| |z|^n \leq |a_n| |z_0|^n \left(\frac{|z|}{|z_0|} \right)^n \leq C \left(\frac{r}{|z_0|} \right)^n$$

$C \left(\frac{r}{|z_0|} \right)^n$ acota superiormente, para cada $n \in \mathbb{N}$, a $|a_n z^n|$. Además, la serie

$$\sum_{n=0}^{\infty} C \left(\frac{r}{|z_0|} \right)^n$$

es una serie geométrica convergente, pues su razón es menor a 1 ($r < |z_0|$). Por M-test: $\sum a_n z^n$ converge uniforme y absolutamente en $\overline{\mathcal{B}_r(0)}$. \square

Corolario

Sea $\{a_n\}$ suc. de complejos, $S(z) = \sum a_n z^n$ y $D = \{z \in \mathbb{C} : \sum a_n z^n \text{ converge}\}$, entonces ocurre alguna de estas cosas:

1. $D = \{0\}$
2. $D = \mathbb{C}$
3. Existe $R > 0$ (que recibe el nombre de *radio de convergencia*) tal que $\mathcal{B}_R(0) \subseteq D \subseteq \overline{\mathcal{B}_R(0)}$

BlueViolet!30

Supongamos que 1. y 2. no ocurren. De manera que hay un $z_0 \in \mathbb{C} \setminus \{0\} \cap D$ y otro $z_1 \in \mathbb{C} \setminus D$. Por el lema de Abel, no hay $z \in D$ tal que $|z| > |z_1|$, porque de ser cierto eso, debería valer que $z_1 \in D$. Luego, existe $R = \sup\{|z| : z \in D\}$. Sea $z \in \mathcal{B}_R(0)$, de manera que $0 \leq |z| < R$. Como $|z|$ es menor que R , que es un supremo, existe $w \in D$ tal que $|z| \leq |w| \leq R$.

Si el supremo se realiza, entonces hay $u \in D$ tal que $|u| = R$ y $|z| < |u|$. Si no se realiza, vale que $|z| < |w| < R$. En cualquier caso, por Abel, $z \in D$. Así que $\mathcal{B}_R(0) \subseteq D$.

Faltaría ver que D está contenido en la clausura de la bola... \square

Ahora vamos a exhibir cómo se halla el radio de convergencia. Por el criterio de la raíz n -ésima de Cauchy (Proposición 5.1.2), sabemos que, dada $\{a_n\}$ suc. de complejos y $z \in \mathbb{C}$ fijo, entonces $\sum a_n z^n$ converge si

$$\limsup_{n \rightarrow \infty} |a_n|^{1/n} |z^n|^{1/n} = |z| \limsup_{n \rightarrow \infty} |a_n|^{1/n} < 1$$

Es decir,

$$|z| < \frac{1}{\limsup_{n \rightarrow \infty} |a_n|^{1/n}} = R$$

Calcular ese límite superior nos permite encontrar el valor del radio de convergencia.

Observación 5.2.0

Si $\limsup_{n \rightarrow \infty} |a_n|^{1/n} = 0$, decimos que el radio de convergencia R es infinito ($R = \infty$) y $\sum a_n z^n$ converge en todo \mathbb{C} .

Teorema 5.2.0

Sea $\{a_n\}$ suc. de complejos, $S(z) = \sum_{n=0}^{\infty} a_n z^n$ serie de potencias con radio de convergencia $R > 0$ y $S'(z) := \sum_{n=1}^{\infty} n a_n z^{n-1} = \sum_{n=0}^{\infty} (n+1) a_{n+1} z^n$. Entonces, S' es la *derivada* de S en $\mathcal{B}_R(0)$.

Demostración.

Veamos primero que los radios de convergencia coinciden. Sea $R' > 0$ el radio de convergencia de S'

$$1/R' = \limsup_{n \rightarrow \infty} \underbrace{(n+1)^{1/n}}_1 |a_{n+1}|^{1/n} = \limsup_{n \rightarrow \infty} |a_{n+1}|^{1/n} = 1/R$$

Sean $z, h \in \mathbb{C}$ con $|z| < R$ (no tendría sentido un valor fuera del radio de convergencia) y $|z| + |h| < R$, y $\varepsilon > 0$, quiero ver que existe $\delta > 0$ tal que, si $|h| < \delta$, entonces

$$|S(z+h) - S(z) - S'(z)h| < \varepsilon|h|$$

Antes de continuar vamos a probar una desigualdad que va a ayudarnos. Consideremos

$$\left| \sum_{j=2}^n \binom{n}{j} z^{k-j} h^j \right| = |h^2| \left| \sum_{j=2}^n \frac{n(n-1)}{j(j-1)} \binom{n-2}{j-2} z^{n-j} h^{j-2} \right|$$

j es un número natural, como la suma empieza en $j = 2$, podemos considerar la cota $\frac{1}{j(j-1)} \leq \frac{1}{2}$. Así que

$$|h^2| \left| \sum_{j=2}^n \frac{n(n-1)}{j(j-1)} \binom{n-2}{j-2} z^{n-j} h^{j-2} \right| \leq |h^2| \left| \sum_{j=2}^n \frac{n(n-1)}{2} \binom{n-2}{j-2} z^{n-j} h^{j-2} \right| = |h|^2 \frac{n(n-1)}{2} \left| \sum_{j=2}^n \binom{n-2}{j-2} z^{n-j} h^{j-2} \right|$$

Cambiando el índice con $k = j - 2$,

$$\left| \sum_{j=2}^n \binom{n}{j} z^{k-j} h^j \right| \leq |h|^2 \frac{n(n-1)}{2} \left| \sum_{k=0}^{n-2} \binom{n-2}{k} z^{n-k-2} h^k \right| \leq |h|^2 \frac{n(n-1)}{2} \sum_{k=0}^{n-2} \binom{n-2}{k} |z|^{n-k-2} |h|^k = |h|^2 \frac{n(n-1)}{2} (|z| + |h|)^{n-2}$$

En conclusión,

$$\left| \sum_{j=2}^n \binom{n}{j} z^{k-j} h^j \right| \leq |h|^2 \frac{n(n-1)}{2} (|z| + |h|)^{n-2}$$

Recordando este resultado, probemos lo enunciado

$$\begin{aligned} S(z+h) &= \sum_{k=0}^{\infty} a_k (z+h)^k = \sum_{k=0}^{\infty} a_k \sum_{j=0}^k \binom{k}{j} z^{k-j} h^j = \sum_{k=0}^{\infty} a_k \left[z^k + k z^{k-1} h + \sum_{j=2}^k \binom{k}{j} z^{k-j} h^j \right] \\ S(z+h) &= \sum_{k=0}^{\infty} a_k z^k + \sum_{k=0}^{\infty} a_{k+1} (k+1) z^k h + \sum_{k=0}^{\infty} a_k \sum_{j=2}^k \binom{k}{j} z^{k-j} h^j = S(z) + S'(z)h + \sum_{k=0}^{\infty} a_k \sum_{j=2}^k \binom{k}{j} z^{k-j} h^j \end{aligned}$$

Por lo tanto,

$$\begin{aligned} S(z+h) - S(z) - S'(z)h &= \sum_{k=0}^{\infty} a_k \sum_{j=2}^k \binom{k}{j} z^{k-j} h^j = \sum_{k=2}^{\infty} a_k \sum_{j=2}^k \binom{k}{j} z^{k-j} h^j \\ \left| \sum_{k=2}^{\infty} a_k \sum_{j=2}^k \binom{k}{j} z^{k-j} h^j \right| &\leq \sum_{k=2}^{\infty} |a_k| \left| \sum_{j=2}^k \binom{k}{j} z^{k-j} h^j \right| \leq |h|^2 \sum_{k=2}^{\infty} |a_k| \frac{k(k-1)}{2} (|z| + |h|)^{k-2} \\ |h|^2 \sum_{k=2}^{\infty} |a_k| \frac{k(k-1)}{2} (|z| + |h|)^{k-2} &= |h|^2 \sum_{j=0}^{\infty} |a_{j+2}| \frac{j(j-1)}{2} (|z| + |h|)^j \end{aligned}$$

Observar que el término cuadrático $\frac{j(j-1)}{2}$ no altera el radio de convergencia de la serie, que es convergente pues $|z| + |h| < R$ (podemos elegir h para que así sea), finalmente,

$$|S(z+h) - S(z) - S'(z)h| \leq |h|^2 \sum_{j=0}^{\infty} |a_{j+2}| \frac{j(j-1)}{2} (|z| + |h|)^j = C|h|^2 < \varepsilon|h|$$

Por lo que podemos pedir $h \in \mathbb{C}$ tal que

$$|h| < \min\{R - |z|, \frac{\varepsilon}{C}\} \quad \square$$

Corolario

Sea $\{a_n\}$ suc. de complejos y $S(z) = \sum_{n=0}^{\infty} a_n (z - z_0)^n$ con radio de convergencia $R > 0$ y convergente en $\mathcal{B}_R(z_0)$, entonces, $S^{(p)}(z) = \sum_{n=0}^{\infty} \frac{(n+p)!}{n!} a_{n+p} z^n$ es la *deriva p-ésima* de $S(z)$ centrada en z_0 y tiene el mismo radio de convergencia.

Definición 5.2.3

Sea D abierto conexo de \mathbb{C} y $f : D \rightarrow \mathbb{C}$. f se dice *analítica* en $z_0 \in D$ si existe $\{a_n\}$ suc. de complejos tal que la serie de potencias $S(z) = \sum_{n=0}^{\infty} a_n (z - z_0)^n$ resulta convergente en $\mathcal{B}_R(z_0) \subseteq D$ y además $f(z) = S(z)$ en dicha bola.

Observación 5.2.1

Una función f se dice *analítica* si es analítica en cada punto de su dominio.

Proposición 5.2.3

Sea D un abierto conexo de \mathbb{C} , $f : D \rightarrow \mathbb{C}$ analítica en z_0 , $R > 0$ y $\{a_n\}$ suc. de complejos tal que $f(z) = \sum_{n=0}^{\infty} a_n (z - z_0)^n$ en $\mathcal{B}_R(z_0)$, entonces,

$$a_n = \frac{f^{(n)}(z_0)}{n!}$$

Demostración.

Sabemos que $f^{(n)}(z) = S^{(n)}(z) = \sum_{n=0}^{\infty} \frac{(n+p)!}{n!} a_{n+p} (z-z_0)^n$. Si evaluamos en z_0 , todos los términos son nulos salvo el correspondiente a $n=0$ (a esta altura no sé si es necesario aclararlo, pero en algunas áreas del análisis, en particular en esta, se asume por convención que $0^0 = 1$). Luego,

$$f^{(n)}(z_0) = n! a_n$$

$$a_n = \frac{f^{(n)}(z_0)}{n!} \quad \square$$

Ejemplo. Hallar la serie de potencias de $f(z) = \frac{1}{z^2+1}$ centrada en $z_0 = 0$ y calcular su radio de convergencia.

Es claro que todas las derivadas en $z = 0$ de esta función existen y, como no tiene una expresión muy complicada, seguramente sea relativamente sencillo hallarlas. Pero eso sería muy aburrido, procedamos de esta manera:

$$\frac{1}{z^2+1} = \frac{1}{(z-i)(z+i)} \stackrel{\text{f.s.}}{=} \frac{i}{2} \left(\frac{1}{z+i} - \frac{1}{z-i} \right)$$

$$\frac{1}{z^2+1} = \frac{i}{2} \left(\frac{1}{i(\frac{z}{i}+1)} - \frac{1}{(-i)(\frac{z}{-i}+1)} \right) = \frac{1}{2} \left(\frac{1}{\frac{z}{i}+1} + \frac{1}{\frac{z}{-i}+1} \right) = \frac{1}{2} \left(\frac{1}{1-(-\frac{z}{i})} + \frac{1}{1-\frac{z}{i}} \right)$$

Ambos sumandos son el valor al que convergen dos series geométricas. Tomemos $|\frac{z}{i}| < 1$, o sea $|z| < 1$, entonces,

$$\frac{1}{z^2+1} = \frac{1}{2} \left(\sum_{n=0}^{\infty} (-1)^n \left(\frac{z}{i}\right)^n + \sum_{n=0}^{\infty} \left(\frac{z}{i}\right)^n \right) = \sum_{n=0}^{\infty} \left(\frac{z}{i}\right)^{2n}$$

(Notar que cuando n es impar, la suma de ambos términos es 0 pues uno es el opuesto del otro, mientras que cuando n es par, la suma da como resultado $2 \left(\frac{z}{i}\right)^n$) Finalmente, para $|z| < 1$ (O sea que su radio de convergencia es 1), se tiene que

$$\frac{1}{z^2+1} = \sum_{n=0}^{\infty} \left(\frac{z}{i}\right)^{2n} = \sum_{n=0}^{\infty} (-1)^n z^{2n}$$

Proposición 5.2.4

Sea $f : D \rightarrow \mathbb{C}$ analítica con D abierto y conexo. Entonces, f es indefinidamente holomorfa (o sea, todas sus derivadas existen y son funciones holomorfas).

Proposición 5.2.5

Sean f, g dos funciones analíticas con dominios abiertos conexos. Si $f = g$ en $U \subseteq \text{Dom}(f) \cap \text{Dom}(g)$ abierto conexo, entonces $f = g$ en $\text{Dom}(f) \cap \text{Dom}(g)$.

Demostración.

Sea $h = f - g$ definida en $G = \text{Dom}(f) \cap \text{Dom}(g)$. Claramente, $h = 0$ en U . Sea, para cada k natural o cero, el siguiente conjunto:

$$A_k = \{z \in G : h^{(k)}(z) \neq 0\}$$

A_k es la preimagen de $\mathbb{C} \setminus \{0\}$, que es abierto, por $h^{(k)}$, que es continua. Luego, A_k es abierto para cada k . Más aún, el conjunto

$$A = \bigcup_{k \in \mathbb{N}} A_k$$

Es abierto.

Consideremos ahora el conjunto

$$B = G \setminus A = \{z \in G : h^{(k)} = 0, k \geq 0\}$$

Sea $z_0 \in B$. Como h es analítica, hay $r > 0$ tal que, para todo $z \in \mathcal{B}_r(z_0)$,

$$h(z) = \sum_{n=0}^{\infty} \frac{h^{(n)}(z_0)}{n!} (z - z_0)^n = 0$$

Por ende, $\mathcal{B}_r(z_0) \subseteq B$. Así que B es abierto.

Claramente, $G = A \sqcup B$. Como G es conexo, debe ser que $A = \emptyset$ o $B = \emptyset$. $U \subseteq B$ (si $f = g$ en U , como ambas son analíticas, $f^{(n)} = g^{(n)}$ en U). Luego, A es vacío. Por ende, $G = B$ y entonces $h^{(k)} = 0$ en G y para todo $k \geq 0$. \square

Observación 5.2.2

Sea $f : D \rightarrow \mathbb{C}$ analítica con D abierto conexo. Si $f \neq 0$, el conjunto $B = \{z \in \mathbb{C} : f^{(k)}(z) = 0, k \geq 0\}$ es vacío.

Proposición 5.2.6

Sea $f : D \rightarrow \mathbb{C}$ analítica con D abierto conexo. Si $f \neq 0$, el conjunto $C = \{z \in \mathbb{C} : f(z) = 0\}$ es discreto.

Demostración.

Sea $z_0 \in \mathbb{C}$ tal que $f(z_0) = 0$, como f es analítica, hay $r > 0$ que satisface

$$f(z) = \sum_{n=0}^{\infty} \frac{f^{(n)}(z_0)}{n!} (z - z_0)^n$$

Para todo $z \in \mathcal{B}_r(z_0)$.

Sea $m = \min_{n \geq 0} \{n : f^{(n)}(z_0) \neq 0\} \subseteq \mathbb{N}_0$. Por la observación anterior este conjunto es no vacío y por eso el mínimo existe.

Luego,

$$f(z) = \left(\frac{f^{(m)}(z_0)}{m!} (z - z_0)^m + \frac{f^{(m+1)}(z_0)}{m+1!} (z - z_0)^{m+1} + \dots \right) = (z - z_0)^m \left(\frac{f^{(m)}(z_0)}{m!} + \frac{f^{(m+1)}(z_0)}{m+1!} (z - z_0) + \dots \right)$$

Sea $g(z)$ dada por

$$g(z) = \left(\frac{f^{(m)}(z_0)}{m!} + \frac{f^{(m+1)}(z_0)}{m+1!} (z - z_0) + \dots \right)$$

Esta función es continua. Como $g(z_0) = \frac{f^{(m)}(z_0)}{m!} \neq 0$, hay $r' > 0$ tal que $g(z) \neq 0$ para todo $z \in \mathcal{B}_{r'}(z_0) \subseteq \mathcal{B}_r(z_0)$.

Entonces, dado que $f(z) = (z - z_0)^m g(z)$, $f(z) \neq 0$ si $z \in \mathcal{B}_{r'}(z_0) \setminus \{z_0\}$. \square

6. Integración en \mathbb{C}

6.1. Integración sobre curvas regulares

Definición 6.0

Sea $\gamma : [a, b] \rightarrow \mathbb{C}$ una curva continua. Decimos que γ es regular si existen $a = t_0 < t_1 < \dots < t_n = b$ tales que, si $1 \leq j \leq n$, $\gamma|_{[t_{j-1}, t_j]}$ es C^1 y además $\gamma'(t) \neq 0$ con $t \in [t_{j-1}, t_j]$.

Definición 6.1

Sea $\gamma : [a, b] \rightarrow \mathbb{C}$ una curva regular, definimos la *longitud* de γ como

$$\text{Long}(\gamma) := \sum_{j=1}^n \int_{t_{j-1}}^{t_j} |\gamma'(t)| dt$$

Definición 6.2

Sea $\gamma : [a, b] \rightarrow \mathbb{C}$ una curva regular y $f : \mathbb{C} \rightarrow \mathbb{C}$ una función continua en la imagen de γ , definimos la *integral de f sobre γ* así

$$\int_{\gamma} f := \sum_{j=1}^n \int_{t_{j-1}}^{t_j} f(\gamma(t)) \gamma'(t) dt$$

Observación 6.0

El valor de $\int_{\gamma} f$ es invariante por parametrización.

Definición 6.3

Sean $\gamma : [a, b] \rightarrow \mathbb{C}$ y $\sigma : [a, b] \rightarrow \mathbb{C}$ parametrizaciones de curvas. Si existe $h : [a, b] \rightarrow [c, d]$ biyectiva, creciente, C^1 a trozos, con $h'(t) > 0$ y tal que $\gamma = \sigma \circ h$, decimos que γ es una *reparametrización* de σ .

Definición 6.4

Sean $\gamma, \sigma : [0, 1] \rightarrow \mathbb{C}$ curvas regulares tales que $\gamma(1) = \sigma(0)$. Definimos la “suma” entre γ y σ (de hecho, es una concatenación), como

$$(\gamma + \sigma)(t) := \begin{cases} \gamma(2t) & \text{si } t \in \left[0, \frac{1}{2}\right] \\ \sigma(2t - 1) & \text{si } t \in \left[\frac{1}{2}, 1\right] \end{cases}$$

Observación 6.1

Si $f : \mathbb{C} \rightarrow \mathbb{C}$ es una función continua en la imagen de $\gamma + \sigma$, entonces,

$$\int_{\gamma + \sigma} f = \int_{\gamma} f + \int_{\sigma} f$$

Definición 6.5

Sea $\gamma : [a, b] \rightarrow \mathbb{C}$ una curva. Definimos $\gamma^-(t) := \gamma((b+a)-t)$. γ^- es la misma curva pero recorrida en la otra dirección.

Definición 6.6

Sea $\gamma : [a, b] \rightarrow \mathbb{C}$ una curva. Decimos que γ es cerrada si $\gamma(a) = \gamma(b)$.

Definición 6.7

Sea $\gamma : [a, b] \rightarrow \mathbb{C}$ una curva. Decimos que γ es simple si todo par de reales $t, t' \in [a, b]$ verifican que

$$\gamma(t) = \gamma(t') \implies t = t' \text{ o } \{t, t'\} = \{a, b\}$$

Gráficamente esto se puede interpretar como que la curva no se cruza a sí misma, salvo quizás en los extremos.

Definición 6.8

Sea $\gamma : [a, b] \rightarrow \mathbb{C}$ una curva. Decimos que γ es de Jordan si es simple y cerrada.

Teorema 6.0 (Teorema de Jordan)

Sea $\gamma : [a, b] \rightarrow \mathbb{C}$ una curva de Jordan. Entonces existen $A, B \subseteq \mathbb{C}$ abiertos conexos, uno acotado y el otro no, tales que $\mathbb{C} = A \cup B \cup \text{Im}(\gamma)$.

Proposición 6.0

Sea $\gamma : [a, b] \rightarrow \mathbb{C}$ una curva regular y $f : \mathbb{C} \rightarrow \mathbb{C}$ continua en la imagen de γ . Entonces,

$$\left| \int_{\gamma} f \right| \leq \max_{t \in [a, b]} |f(\gamma(t))| \text{Long}(\gamma)$$

Demostración.

Sean $\rho > 0$ y $\theta \in [0, 2\pi)$ tales que

$$\int_{\gamma} f = \rho e^{i\theta}$$

Sea $g(z) = e^{-i\theta} f(z)$, luego, $\int_{\gamma} g = e^{-i\theta} \int_{\gamma} f = \rho$.

$$\rho = \int_{\gamma} g = \text{Re} \left(\int_{\gamma} g \right) = \text{Re} \left(\int_a^b g(\gamma(t)) \gamma'(t) dt \right) = \int_a^b \text{Re}(g(\gamma(t)) \gamma'(t)) dt \leq \int_a^b |g(\gamma(t)) \gamma'(t)| dt$$

$$\int_a^b |g(\gamma(t)) \gamma'(t)| dt \leq \max_{t \in [a, b]} |g(\gamma(t))| \int_a^b |\gamma'(t)| dt = \max_{t \in [a, b]} |g(\gamma(t))| \text{Long}(\gamma) \quad \square$$

Proposición 6.1

Sea $f : D \rightarrow \mathbb{C}$ con $f(x + yi) = u(x, y) + iv(x, y)$ holomorfa en D y $\gamma : [a, b] \rightarrow \mathbb{C}$ con $\gamma(t) = x(t) + iy(t)$ curva regular y de Jordan. Si consideramos $U \subseteq D$ la región encerrada por γ y $u, v \in C^1(\overline{U})$, entonces,

$$\int_{\gamma} f = 0$$

Demostración.

$$\int_{\gamma} f = \sum_{j=1}^n \int_{t_{j-1}}^{t_j} f(\gamma(t)) \gamma'(t) dt = \sum_{j=1}^n \int_{t_{j-1}}^{t_j} u(x(t), y(t)) x' - v(x(t), y(t)) y' + i(v(x(t), y(t)) x' + u(x(t), y(t)) y') dt$$

Luego,

$$\int_{\gamma} f = \int_{\gamma} u dx - v dy + i \int_{\gamma} v dx + u dy$$

Sea $U \subseteq D$ la región encerrada por γ . Como $u, v \in C^1(\overline{U})$, por Green,

$$\int_{\gamma} f = \int_{\gamma} u dx - v dy + i \int_{\gamma} v dx + u dy = \iint_U -v_x - u_y dA - \iint_U u_x - v_y dA$$

Como f es holomorfa, vale Cauchy-Riemann, así que cada integrando resulta nulo. Por ende,

$$\int_{\gamma} f = 0 \quad \square$$

A continuación un interesante corolario.

Corolario

Sea $P \in \mathbb{C}[z]$ no constante. Existe $z_0 \in \mathbb{C}$ tal que $P(z_0) = 0$.

Este es el *teorema fundamental del álgebra*.

Demostración.

Supongamos que el enunciado no es cierto, de manera que existe $P \in \mathbb{C}[z]$ tal que $P(z) \neq 0$ para todo z complejo. Luego, la función

$$f(z) = \frac{1}{P(z)}$$

Es holomorfa en todo \mathbb{C} , pues es un cociente entre polinomios y el denominador nunca es nulo. Sea $n \in \mathbb{N}$ el grado de P . Como es un polinomio, entonces está unívocamente determinado por sus coeficientes, es decir, hay $a_0, a_1, \dots, a_n \in \mathbb{C}$ con $a_n \neq 0$ tales que

$$P(z) = a_n z^n + a_{n-1} z^{n-1} + \dots + a_1 z + a_0$$

Consideremos la siguiente reescritura de P :

$$P(z) = a_n z^n + a_{n-1} z^{n-1} + \dots + a_1 z + a_0 = z(a_n z^{n-1} + a_{n-1} z^{n-2} + \dots + a_1) + a_0$$

Sea $Q(z) = a_n z^{n-1} + a_{n-1} z^{n-2} + \dots + a_1$. Luego,

$$P(z) = zQ(z) + a_0$$

Sea $M > 0$ un número real, como $\lim_{|z| \rightarrow \infty} |P(z)| = \infty$, existe R real positivo tal que

$$|P(z)| \geq M$$

Si $|z| \geq R$.

Luego,

$$\left| \int_{|z|=R} \frac{1}{z} \right| = \left| \int_{|z|=R} \frac{P(z)}{zP(z)} \right| = \left| \int_{|z|=R} \frac{zQ(z) + a_0}{zP(z)} \right| = \left| \int_{|z|=R} \frac{Q(z)}{P(z)} + \int_{|z|=R} \frac{a_0}{zP(z)} \right| \leq \left| \int_{|z|=R} \frac{Q(z)}{P(z)} \right| + \left| \int_{|z|=R} \frac{a_0}{zP(z)} \right|$$

La función $\frac{Q(z)}{P(z)}$ es holomorfa en todo \mathbb{C} y con derivada continua, por lo que, de acuerdo a la proposición interior, su integral sobre la región $|z| = R$ es nula. Entonces,

$$\left| \int_{|z|=R} \frac{1}{z} \right| = |2\pi i| = 2\pi \leq |a_0| \left| \int_{|z|=R} \frac{1}{zP(z)} \right| \leq |a_0| \int_{|z|=R} \frac{1}{|z||P(z)|}$$

Como $|z| = R$, sabemos que $|P(z)| \geq M$, y entonces es claro que $\frac{1}{|P(z)|} \leq \frac{1}{M}$, así que

$$2\pi \leq |a_0| \int_{|z|=R} \frac{1}{|z||P(z)|} \leq \frac{|a_0|}{RM} \int_{|z|=R} |dz|$$

Notar que la integral de $|dz|$ sobre la región $|z| = R$ es una forma de notar la integral de longitud de curva, así que es igual a $2\pi R$. Finalmente,

$$2\pi \leq \frac{|a_0|}{RM} 2\pi R$$

Es decir,

$$M \leq |a_0|$$

O sea que $|a_0|$ es mayor que cualquier número real positivo M , pues este es arbitrario. Es claro que esto es absurdo. \square

Definición 6.9

Sea $z_0 \in \mathbb{C}$ y $a, b \in \mathbb{R}$, el conjunto

$$R(z_0, a, b) = \{z_0 + sa + tbi : s, t \in [0, 1]\}$$

Es un rectángulo con vértices en z_0 , $z_0 + a$, $z_0 + bi$ y $z_0 + (a + bi)$. Además,

$$\text{Diam}(R) = \sqrt{a^2 + b^2} \quad \text{Long}(\partial R) = 2(a + b)$$

A partir de ahora, para ahorrarnos cosas como parametrizar curvas, se van a adjuntar algunos dibujos para dar a entender qué es lo que se está haciendo. La razón de esto es que no vamos a considerar curvas particularmente difíciles de parametrizar, y ni siquiera nos es útil saber bien cómo se hace.

Proposición 6.2

Sea D un abierto conexo de \mathbb{C} y $f : D \rightarrow \mathbb{C}$ holomorfa. Si $R \subseteq D$ es un rectángulo, entonces

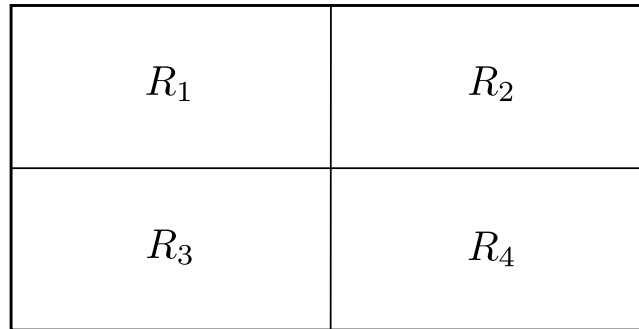
$$\int_{\partial R} f = 0$$

Demostración.

Sea D un abierto conexo de \mathbb{C} , $f : D \rightarrow \mathbb{C}$ holomorfa en D y $R \subseteq D$ un rectángulo. Sea α el número real tal que

$$\alpha = \left| \int_{\partial R} f \right|$$

Es claro que $\alpha \geq 0$. Consideremos R partido en 4 rectángulos (R_1, R_2, R_3 y R_4) de la siguiente forma (esto es meramente ilustrativo, puede realizarse cualquier partición que resulte conveniente):



Luego,

$$\alpha = \left| \int_{\partial R} f \right| = \left| \sum_{i=1}^4 \int_{\partial R_i} f \right| \leq \sum_{i=1}^4 \left| \int_{\partial R_i} f \right|$$

Por esto, necesariamente existe $i \in \{1, 2, 3, 4\}$ tal que

$$\left| \int_{\partial R_i} f \right| \geq \frac{\alpha}{4}$$

Si repetimos este proceso, podemos conseguir un conjunto de rectángulos $R^{(0)}, R^{(1)}, \dots, R^{(n)}, \dots$ (con $R^{(0)} = R$, $R^{(1)} = R_i$) tales que, para cada $k \in \mathbb{N}_0$,

$$R^{(k+1)} \subseteq R^{(k)}, \quad \left| \int_{\partial R^{(k)}} f \right| \geq \frac{\alpha}{4^k}, \quad \text{Diam}(R^{(k)}) = \frac{\text{Diam}(R)}{2^k}, \quad \text{Long}(\partial R^{(k)}) = \frac{\text{Long}(\partial R)}{2^k}$$

Entonces, tenemos un conjunto de cerrados encajados con un diámetro que tiende a 0. Por ende, existe $w \in \mathbb{C}$ tal que

$$\{w\} = \bigcap_{k \in \mathbb{N}} R^{(k)}$$

Sea $N : D \rightarrow \mathbb{C}$ dada por

$$N(w, z) = f(z) - f(w) - f'(w)(z - w)$$

Como f es derivable en w , dado $\varepsilon > 0$ hay $\delta > 0$ tal que

$$|N(w, z)| < \varepsilon |w - z|$$

Si $|w - z| < \delta$. Sea $m \in \mathbb{N}$ tal que $\text{Diam}(R^{(m)}) < \delta$, m seguro existe pues la sucesión de los diámetros de los $R^{(k)}$ tiende a 0 si k tiende a infinito. Notar que

$$f(z) = f(w) + f'(w)(z - w) + N(w, z)$$

Y $f(w) + f'(w)(z - w)$ es una función holomorfa con derivada continua (es una función afín), así que su integral sobre una curva de Jordan es nula. Luego,

$$\frac{\alpha}{4^m} \leq \left| \int_{\partial R^{(m)}} f \right| = \left| \int_{\partial R^{(m)}} f(w) + f'(w)(w - z) + N(w, z) \right| \leq \underbrace{\left| \int_{\partial R^{(m)}} f(w) + f'(w)(w - z) \right|}_0 + \left| \int_{\partial R^{(m)}} N(w, z) \right|$$

Así que

$$\frac{\alpha}{4^m} \leq \left| \int_{\partial R^{(m)}} N(w, z) \right| \leq \int_{\partial R^{(m)}} |N(w, z)| \leq \varepsilon |z - w| \int_{\partial R^{(m)}} |dz|$$

Esta última cota superior es verdadera pues si $\text{Diam}(R^{(m)}) < \delta$, como $w \in R^{(m)}$, seguro que $|z - w| < \delta$ para cada $z \in R^{(m)}$. Sabiendo eso, puedo acotar $|N(w, z)|$ gracias a la antes mencionada derivabilidad de f en w . Notar también que $|z - w| \leq \text{Diam}(R^{(m)})$. Entonces,

$$\frac{\alpha}{4^m} \leq \varepsilon |z - w| \int_{\partial R^{(m)}} |dz| \leq \varepsilon \text{Diam}(R^{(m)}) \text{Long}(\partial R^{(m)}) = \varepsilon \frac{\text{Diam}(R) \text{Long}(\partial R)}{2^m 2^m}$$

Es decir,

$$\alpha \leq \varepsilon \text{Diam}(R) \text{Long}(\partial R)$$

Como α es menor o igual a cualquier número positivo ($\varepsilon \text{Diam}(R) \text{Long}(R)$ es un número positivo arbitrariamente cercano a 0 pues el diámetro y la longitud de R y su borde, respectivamente, son constantes), entonces

$$\alpha = \left| \int_{\partial R} f \right| = 0$$

Luego,

$$\int_{\partial R} f = 0 \quad \square$$

Corolario

Sea $D \subseteq \mathbb{C}$ abierto conexo y $f : D \rightarrow \mathbb{C}$ continua y holomorfa en $\mathbb{C} \setminus \{z_0\}$ para algún $z_0 \in \mathbb{C}$. Si $R \subseteq D$ es un rectángulo, entonces

$$\int_{\partial R} f = 0$$

Proposición 6.3

Sea $f : D \rightarrow \mathbb{C}$, $r > 0$ y $z_0 \in \mathbb{C}$ tal que f es continua en $\mathcal{B}_r(z_0)$. Son equivalentes:

1. Existe F holomorfa en $\mathcal{B}_r(z_0)$ tal que $F' = f$.
2. Si γ es una curva de Jordan (regular, cerrada y simple), entonces

$$\int_{\gamma} f = 0$$

3. Si $R \subseteq \mathcal{B}_r(z_0)$ es un rectángulo, entonces

$$\int_{\partial R} f = 0$$

A continuación probamos un lema auxiliar.

Lema

Sea $u(x) : \mathbb{R} \rightarrow \mathbb{R}$ continua, entonces

$$\lim_{h \rightarrow 0} \frac{1}{h} \int_0^h u(x+t) dt = u(x)$$

Demostración.

Sea $\varepsilon > 0$, consideremos esta reescritura de u

$$u(x) = \frac{1}{h} \int_0^h u(x) dt$$

$$\left| \frac{1}{h} \int_0^h u(x+t) dt - u(x) \right| = \left| \frac{1}{h} \int_0^h u(x+t) - u(x) dt \right| \leq \frac{1}{h} \int_0^h |u(x+t) - u(x)| dt$$

Por continuidad, hay $\delta > 0$ tal que, si $t \in [0, h]$, podemos acotar por ε el integrando.

$$\left| \frac{1}{h} \int_0^h u(x+t) dt - u(x) \right| \leq \frac{1}{h} \int_0^h |u(x+t) - u(x)| dt < \frac{1}{h} \varepsilon \int_0^h dt = \varepsilon \quad \square$$

Ahora probamos la proposición anteriormente enunciada.

Demostración.

(1.) \rightarrow (2.) Sea $F = U(x, y) + iV(x, y)$ holomorfa en $\mathcal{B}_r(z_0)$, por lo que $U_x = V_y$, $U_y = -V_x$ y $F' = f = u(x, y) + iv(x, y)$ con f continua en $\mathcal{B}_r(z_0)$. Sea $\gamma \subseteq \mathcal{B}_r(z_0)$ una curva de Jordan.

$$\int_{\gamma} f = \int_{\gamma} f(\gamma(t)) \gamma'(t) = \int_{\gamma} (u + iv)(dx + idy) = \int_{\gamma} u dx - v dy + i \int_{\gamma} v dx + u dy$$

Por un lado,

$$F' = U_x - iU_y = u + iv$$

$$U_x = u \quad U_y = -v$$

Así que $U(x, y)$ es un potencial del campo $(u(x, y), -v(x, y))$. También,

$$F' = V_y + iV_x = u + iv$$

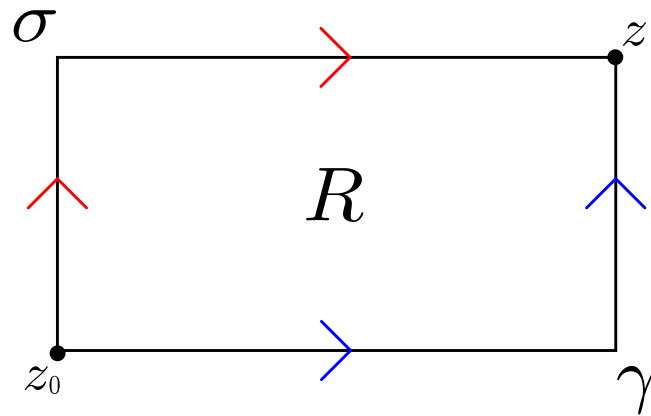
$$V_x = v \quad V_y = u$$

Entonces $V(x, y)$ es un potencial del campo $(v(x, y), u(x, y))$. Luego, $(u(x, y), -v(x, y))$ y $(v(x, y), u(x, y))$ son ambos campos conservativos. Por ende,

$$\int_{\gamma} f = \int_{\gamma} u dx - v dy + i \int_{\gamma} v dx + u dy = 0 + i0 = 0$$

(2.) \rightarrow (3.) es claro.

(3.) \rightarrow (1.) Sea f continua en $\mathcal{B}_r(z_0)$ y $R \subseteq \mathcal{B}_r(z_0)$ un rectángulo. Consideremos las siguientes curvas γ y σ , donde cada una recorre cierta región de R desde $z_0 \in \mathbb{C}$ fijo hasta un punto $z \in \mathbb{C}$ (no fijo)



Sea $F(z)$ dada por

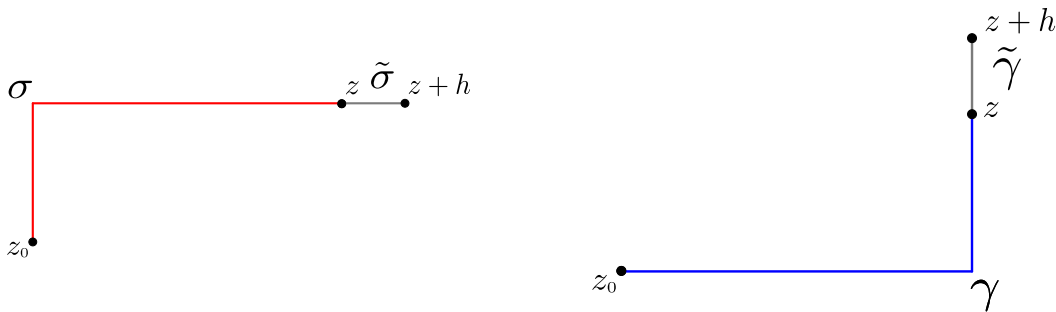
$$F(z) = \int_{\sigma} f = \int_{\gamma} f$$

Notemos que esta igualdad entre integrales vale porque, si cambiamos la orientación de alguna de las dos curvas, nuestra región de integración es todo ∂R , y la integral resulta nula.

Sea $h \in \mathbb{R}$, vamos a analizar los siguientes límites, con $z = x + iy$:

$$\lim_{h \rightarrow 0} \frac{F((x+h) + iy) - F(x + iy)}{h} \quad \lim_{h \rightarrow 0} \frac{F(x + i(y+h)) - F(x + iy)}{h}$$

Y vamos a considerar las siguientes curvas $\tilde{\sigma}$, $\tilde{\gamma}$:



$$\tilde{\sigma}(t) = z + t \quad \tilde{\gamma}(t) = z + it$$

Con $t \in [0, h]$. Notar que $\tilde{\sigma}'(t) = 1$, $\tilde{\gamma}'(t) = i$.

$$F(z+h) = F(z) + \int_{\tilde{\sigma}} f$$

$$\frac{F(z+h) - F(z)}{h} = \frac{1}{h} \int_{\tilde{\sigma}} f = \frac{1}{h} \int_0^h u(x+t, y) + iv(x+t, y) dt$$

Tomando $h \rightarrow 0$, y de acuerdo al lema anterior,

$$F_x = U_x + iV_x = u + iv$$

Luego,

$$U_x = u, V_x = v$$

Procediendo de igual manera con el otro límite

$$\frac{F(z+ih) - F(z)}{h} = \frac{1}{h} \int_{\tilde{\gamma}} f = \frac{1}{h} \int_0^h [u(x, y+t) + iv(x, y+t)] i dt = \frac{1}{h} \int_0^h -v(x, y+t) + iu(x, y+t) dt$$

Con $h \rightarrow 0$,

$$F_y = U_y + iV_y = -v + iu$$

Así que,

$$U_y = -v, V_y = u$$

Y no es difícil notar que F satisface las condiciones de Cauchy-Riemann, así que es holomorfa. \square

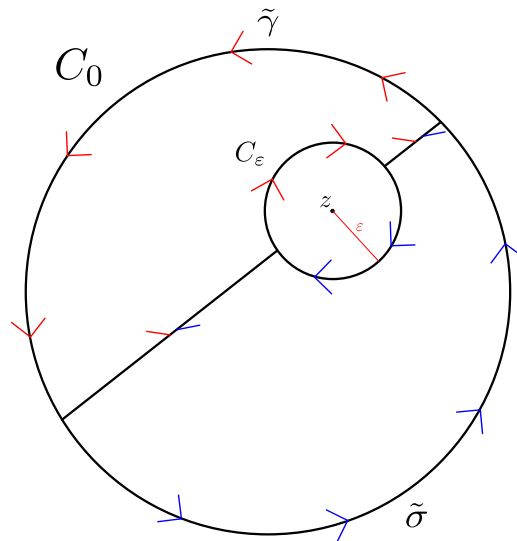
Teorema 6.1 (Fórmula integral de Cauchy)

Sea f holomorfa en $\mathcal{B}_r(z_0)$. Si $0 < \rho < r$ y $z \in \mathcal{B}_r(\rho)$, considerando la curva $C_0 : w(t) = z_0 + \rho e^{it}$, con $t \in [0, 2\pi]$ y recorrida positivamente, entonces

$$f(z) = \frac{1}{2\pi i} \int_{C_0} \frac{f(w)}{w-z} dw$$

Demostración.

Sea $z \in \mathcal{B}_r(z_0)$, $\varepsilon > 0$ y $C_\varepsilon : r(t) = z + \varepsilon e^{it}$ con $t \in [0, 2\pi]$. Consideremos las siguientes curvas $\tilde{\gamma}$ y $\tilde{\sigma}$



Notemos que

$$\int_{\tilde{\gamma}} f + \int_{\tilde{\sigma}} f = \int_{C_0} f - \int_{C_\varepsilon} f \quad (1)$$

Ambas integrales de la izquierda son nulas, pues f es holomorfa en $\mathcal{B}_r(z_0)$. Sea $g(t) : \mathcal{B}_r(z_0) \rightarrow \mathbb{C}$ dada por

$$g(t) = \begin{cases} \frac{f(t) - f(z)}{t - z} & \text{si } t \neq z \\ f'(z) & \text{si } t = z \end{cases}$$

g es holomorfa en $\mathcal{B}_r(z_0) \setminus \{z\}$ y continua en $\mathcal{B}_r(z_0)$. Por el corolario de Cauchy-Goursat, su integral sobre un rectángulo va a ser nula, y por las equivalencias de la Proposición 6.3, como C_0 es una curva de Jordan, entonces

$$\int_{C_0} g = 0$$

$$\int_{C_0} g = \int_{C_0} \frac{f(t) - f(z)}{t - z} dt = \int_{C_0} \frac{f(t)}{t - z} dt - f(z) \int_{C_0} \frac{1}{t - z} dt = 0$$

Así que,

$$\int_{C_0} \frac{f(t)}{t - z} dt = f(z) \int_{C_0} \frac{1}{t - z} dt$$

Veamos que $\int_{C_0} \frac{1}{t - z} dt = 2\pi i$. Como la función del integrando es holomorfa en $\mathcal{B}_r(z_0) \setminus \{z\}$, su integral sobre una curva cerrada contenida ahí va a ser nula. En particular, vale la igualdad de (1.) y los dos sumandos de la izquierda son 0. Entonces,

$$0 = \int_{C_0} \frac{1}{t - z} dt - \int_{C_\varepsilon} \frac{1}{t - z} dt$$

Nos basta con que la integral sobre C_ε sea igual a $2\pi i$.

$$\int_{C_\varepsilon} \frac{1}{t - z} dt = \int_0^{2\pi} \frac{r'(t)}{r(t) - z} dt = \int_0^{2\pi} \frac{i\varepsilon e^{it}}{\varepsilon e^{it}} dt = i \int_0^{2\pi} dt = 2\pi i$$

Luego,

$$\begin{aligned} f(z) \int_{C_0} \frac{1}{t - z} dt &= \int_{C_0} \frac{f(t)}{t - z} dt \\ f(z) &= \frac{1}{2\pi i} \int_{C_0} \frac{f(t)}{t - z} dt \quad \square \end{aligned}$$

Observación 6.2

Sea $z_0 \in \mathbb{C}$, $r > 0$, $C_r : w(t) = z_0 + re^{it}$ con $t \in [0, 2\pi]$ y f holomorfa en un abierto D que contiene a $\mathcal{B}_r(z_0)$. Entonces,

$$f(z_0) = \frac{1}{2\pi} \int_0^{2\pi} f(z_0 + re^{it}) dt$$

Este es el *teorema del valor medio* (uno más de tantos). Lo que nos dice es que el valor de una función holomorfa f en z_0 es tomar el promedio alrededor de algún círculo de radio $r > 0$ centrado en z_0 .

Proposición 6.4

Para cada $n \in \mathbb{N}_0$, sea $f_n(z)$ dada por

$$f_n(z) = \frac{n!}{2\pi i} \int_{C_0} \frac{\phi(w)}{(w - z)^{n+1}} dw$$

Donde, dado $z_0 \in \mathbb{C}$ y $\rho > 0$, C_0 parametriza la frontera de $\mathcal{B}_\rho(z_0)$ y ϕ es continua en C_0 .

Entonces, f_n es holomorfa y $f'_n = f_{n+1}$.

Antes de comenzar con la demostración, enunciamos un lema auxiliar.

Lema

Sea $\varepsilon > 0$ y $n \in \mathbb{N}$. Existe $\delta \in (0, 1)$ tal que, si $\zeta \in \mathcal{B}_\delta(0) \subseteq \mathbb{C}$, entonces

$$\left| \frac{1}{(1 - \zeta)^n} - 1 - n\zeta \right| < \varepsilon |\zeta|$$

Esto no es otra cosa que la diferenciación en $\zeta = 0$ de la función $\frac{1}{(1 - \zeta)^n}$.

Continuamos ahora con la demostración de la proposición.

Demostración.

Sea $\varepsilon > 0$, quiero hallar $\delta' > 0$ tal que, si $|h| < \delta'$, entonces

$$|f_n(z+h) - f_n(z) - f_{n+1}(z)h| < \varepsilon|h|$$

Para cada $z \in \mathcal{B}_\rho(z_0)$. De verificarse esto, entonces $f'_n = f_{n+1}$.

$$\begin{aligned} f_n(z) &= \frac{n!}{2\pi i} \int_{C_0} \frac{\phi(w)}{(w-z)^{n+1}} \\ f_n(z+h) &= \frac{n!}{2\pi i} \int_{C_0} \frac{\phi(w)}{(w-z-h)^{n+1}} dw = \frac{n!}{2\pi i} \int_{C_0} \frac{\phi(w)}{(w-z)^{n+1} \left(1 - \frac{h}{w-z}\right)^{n+1}} dw \\ f_{n+1}(z)h &= h \frac{(n+1)!}{2\pi i} \int_{C_0} \frac{\phi(w)}{(w-z)^{n+2}} dw = \frac{n!}{2\pi i} \int_{C_0} \frac{\phi(w)}{(w-z)^{n+1}} \frac{(n+1)h}{w-z} dw \end{aligned}$$

Luego,

$$|f_n(z+h) - f_n(z) - f_{n+1}(z)h| = \left| \frac{n!}{2\pi i} \int_{C_0} \frac{\phi(w)}{(w-z)^{n+1}} \left[\frac{1}{\left(1 - \frac{h}{w-z}\right)^{n+1}} - 1 - \frac{(n+1)h}{w-z} \right] dw \right|$$

Sea $\zeta = \frac{h}{w-z}$, notemos que

$$|w-z| = |w-z_0 + z_0-z| = |(w-z_0) - (z-z_0)| \geq |w-z_0| - |z-z_0| = \rho - |z-z_0|$$

Entonces,

$$|\zeta| = \frac{|h|}{|w-z|} \leq \frac{|h|}{\rho - |z-z_0|} < 1 \text{ tomando } |h| < \rho - |z-z_0|$$

Por el lema anterior, sabemos que hay $\delta > 0$ tal que se satisface la siguiente desigualdad

$$\left| \frac{1}{(1-\zeta)^{n+1}} - 1 - (n+1)\zeta \right| < \varepsilon |\zeta| \leq \varepsilon \frac{|h|}{\rho - |z-z_0|} < \varepsilon$$

Si $|\zeta| < \delta$. En consecuencia, esto nos pide también que $|h| < \delta(\rho - |z-z_0|) = \delta'$. De esta manera, acotamos uno de los dos factores del integrando. Por otro lado,

$$\left| \frac{\phi(w)}{(w-z)^{n+1}} \right| \leq \frac{\max_{w \in C_0} |\phi(w)|}{(\rho - |z-z_0|)^{n+1}}$$

Y ese máximo existe pues ϕ es continua y C_0 es compacto. Agrupando todo, tenemos que

$$\left| \frac{n!}{2\pi i} \int_{C_0} \frac{\phi(w)}{(w-z)^{n+1}} \left[\frac{1}{\left(1 - \frac{h}{w-z}\right)^{n+1}} - 1 - \frac{(n+1)h}{w-z} \right] dw \right| \leq \varepsilon \frac{n!}{2\pi} \frac{\max_{w \in C_0} |\phi(w)|}{(\rho - |z-z_0|)^{n+1}} \int_{C_0} |dw|$$

Todos los términos son constantes, salvo ε . \square

Corolario

Sea $f : D \rightarrow \mathbb{C}$ holomorfa en D , entonces f es indefinidamente holomorfa. Es decir, es infinitamente derivable y todas sus derivadas son funciones holomorfas.

Corolario

Sea $f : D \rightarrow \mathbb{C}$ holomorfa en D , $z_0 \in D$ y $r > 0$ tal que $B = \mathcal{B}_r(z_0) \subseteq D$. Si γ es una curva recorrida positivamente cuya imagen es la frontera de dicha bola y $z \in B$, entonces, si $n \in \mathbb{N}_0$,

$$f^{(n)}(z) = \frac{n!}{2\pi i} \int \frac{f(w)}{(w-z)^{n+1}}$$

Esta igualdad recibe el nombre de *fórmula de Cauchy generalizada*.

Esto se deduce de la proposición anterior y de la fórmula integral de Cauchy. Tomando a $f(w)$ como $\phi(w)$, vamos a tener que $f_0(z) = f(z)$.

Teorema 6.2 (Teorema de Morera)

Sean $r > 0$, $z_0 \in \mathbb{C}$ y $B = \mathcal{B}_r(z_0)$. Si $f : B \rightarrow \mathbb{C}$ es una función continua que verifica que, para toda curva de Jordan γ contenida en B y con el área que encierra también ahí,

$$\int_{\gamma} f = 0$$

Entonces f es holomorfa en B .

Demostración.

Para probar esto solo necesitamos basarnos en varias de las proposiciones ya probadas anteriormente. Si f satisface lo dicho en el enunciado, sabemos por la Proposición 6.3 que tiene una primitiva F holomorfa. Por otro lado, el primer corolario de la Proposición 6.4 nos dice que la holomorfía de una función se preserva por derivación. Luego, f es holomorfa. \square

A continuación, uno de los resultados más interesantes de la materia.

Teorema 6.3 (Teorema de Liouville)

Sea $f : \mathbb{C} \rightarrow \mathbb{C}$ holomorfa y acotada. Entonces, f es constante.

Esto es una muestra de lo fuerte que es la fórmula integral de Cauchy.

Demostración.

Sea $R > 0$, $z \in \mathcal{B}_{R/2}(0)$ y $C_0 : w(t) = Re^{it}$, con $t \in [0, 2\pi]$. Claramente $\frac{|z|}{R} < \frac{1}{2}$

$$f'(z) = \frac{1}{2\pi i} \int_{C_0} \frac{f(w)}{(w-z)^2} dw$$

$$|f'(z)| \leq \frac{1}{2\pi} \max_{|w|=R} \left| \frac{f(w)}{|w-z|^2} \right| \int_{C_0} |dw| \leq \frac{1}{2\pi} \frac{\overbrace{\max_{w \in \mathbb{C}} |f(w)|}^M}{|R-z|^2} 2\pi R \leq \frac{M}{(|R|-|z|)^2} R \leq \frac{M}{R^2 \left(1 - \frac{|z|}{R}\right)^2} R \leq \frac{M}{R \left(\frac{1}{2}\right)^2} = \frac{4M}{R}$$

Como R es arbitrario y M es una constante, $|f'(z)|$ es arbitrariamente cercano a 0. Luego,

$$f'(z) = 0$$

Por lo que f es constante, como se quería probar. \square

El teorema fundamental del álgebra también es corolario de este teorema. No veo necesario adjuntar esa demostración, que no es muy difícil, porque acá ya hicimos otra que, en mi opinión, es aun menos complicada.

Definición 6.10

Sea $\gamma : [a, b] \rightarrow \mathbb{C}$ una curva regular cerrada. Para $z \in \mathbb{C} - \gamma([a, b])$, definimos el *índice* de γ en z como

$$I(\gamma, z) = \frac{1}{2\pi i} \int_{\gamma} \frac{1}{w - z} dw$$

Proposición 6.5

Si $\gamma : [a, b] \rightarrow \mathbb{C}$ es una curva regular y de Jordan, $I(\gamma, z)$ con $z \notin \gamma([a, b])$ es un número entero.

Demostración. Para $s \in [a, b]$, definimos

$$J(s) = \int_a^s \frac{\gamma'(t)}{\gamma(t) - z} dt$$

Notar que $J(b) = I(\gamma, z)2\pi i$. Sea $\Theta(s)$ dada por

$$\Theta(s) = e^{-J(s)}(\gamma(s) - z)$$

El teorema fundamental del cálculo nos dice que

$$J'(s) = \frac{\gamma'(s)}{\gamma(s) - z}$$

Luego,

$$\Theta'(s) = -\frac{\gamma'(s)}{\gamma(s) - z} e^{-J(s)}(\gamma(s) - z) + e^{-J(s)}\gamma'(s) = 0$$

Así que Θ es una función constante. En particular, $\Theta(a) = \Theta(b)$, es decir,

$$e^{-J(a)}(\gamma(a) - z) = e^{-J(b)}(\gamma(b) - z)$$

La curva γ es cerrada, por lo que $\gamma(a) = \gamma(b)$. Además, $z \notin \gamma([a, b])$. Por ende, $(\gamma(a) - z) = (\gamma(b) - z) \neq 0$, entonces

$$e^{-J(a)} = e^{-J(b)}$$

$J(a) = 0$ y $J(b) = I(\gamma, z)2\pi i$, por lo que

$$e^{-I(\gamma, z)2\pi i} = 1$$

Así que $I(\gamma, z) \in \mathbb{Z}$ \square

Proposición 6.6

Si $\gamma : [a, b] \rightarrow \mathbb{C}$ es una curva regular y de Jordan, $I(\gamma, z)$ con $z \notin \gamma([a, b])$ es una función continua.

Demostración.

Sea $z \in \mathbb{C} - \gamma([a, b])$, $\delta = \min_{t \in [a, b]} |\gamma(t) - z|$ y $h > 0$ con $|h| < \frac{\delta}{2}$. Sabemos entonces que $z + h \notin \gamma([a, b])$

$$|I(\gamma, z+h) - I(\gamma, z)| \leq \frac{1}{2\pi} \left| \int_{\gamma} \frac{1}{w - z - h} - \frac{1}{w - z} dw \right| \leq \frac{1}{2\pi} \int_{\gamma} \left| \frac{h}{(w - z - h)(w - z)} \right| dw$$

$$\frac{1}{2\pi} \int_{\gamma} \left| \frac{h}{(w-z-h)(w-z)} \right| dw \leq \max_{t \in [a,b]} \frac{|h|}{|\gamma(t)-z-h||\gamma(t)-z|} \int_{\gamma} |dw|$$

Notemos que, si $|h| < \frac{\delta}{2}$,

$$|\gamma(t)-z-h| \geq |\gamma(t)-z| - |h| > \frac{\delta}{2}$$

Luego,

$$\max_{t \in [a,b]} \frac{|h|}{|\gamma(t)-z-h||\gamma(t)-z|} \int_{\gamma} |dw| \leq \frac{2}{\delta^2} \text{Long}(\gamma) |h| \quad \square$$

Teorema 6.5

Sea $f : D \rightarrow \mathbb{C}$, $z_0 \in \mathbb{C}$ y $R > 0$ tal que $\mathcal{B}_R(z_0) \subseteq D$ con f holomorfa en D , y en particular en z_0 . Entonces, f es analítica en z_0 .

Antes de comenzar con la demostración, consideremos este lema auxiliar.

Lema

Sean $\xi, \zeta \in \mathbb{C}$ distintos. Entonces,

$$\frac{1}{\zeta - \xi} - \sum_{k=0}^n \frac{\xi^k}{\zeta^{k+1}} = \frac{1}{\zeta - \xi} \left(\frac{\xi}{\zeta} \right)^{n+1}$$

Demostración.

Sea $C_r : w(t) = z_0 + re^{it}$ con $t \in [0, 2\pi]$. Por la fórmula integral de Cauchy y su generalización, conocemos estas igualdades sobre $f(z)$ y $f^{(k)}(z_0)$:

$$f(z) = \frac{1}{2\pi i} \int_{C_r} \frac{f(w)}{w-z} dz = \frac{1}{2\pi i} \int_{C_r} \frac{f(w)}{(w-z_0) - (z-z_0)} dw$$

$$f^{(k)}(z_0) = \frac{k!}{2\pi i} \int_{C_r} \frac{f(w)}{(w-z_0)^{k+1}} dw$$

Consideremos la sucesión de sumas parciales dada por

$$S_n(z) = \sum_{k=0}^n \frac{f^{(k)}(z_0)}{k!} (z-z_0)^k$$

Reemplazando $f^{(k)}(z_0)$, tenemos que

$$S_n(z) = \sum_{k=0}^n \frac{(z-z_0)^k}{2\pi i} \int_{C_r} \frac{f(w)}{(w-z_0)^{k+1}} dw = \frac{1}{2\pi i} \int_{C_r} f(w) \sum_{k=0}^n \frac{(z-z_0)^k}{(w-z_0)^{k+1}} dw$$

No hay problema para intercambiar suma e integral pues estamos sumando finitos términos. Luego,

$$f(z) - S_n(z) = \frac{1}{2\pi i} \int_{C_r} f(w) \left[\frac{1}{(w-z_0) - (z-z_0)} - \sum_{k=0}^n \frac{(z-z_0)^k}{(w-z_0)^{k+1}} \right] dw = \frac{1}{2\pi i} \int_{C_r} \frac{f(w)}{w-z} \left(\frac{z-z_0}{w-z_0} \right)^{n+1} dw$$

La última igualdad es cierta debido al lema enunciado anteriormente. Así que tenemos que

$$|f(z) - S_n(z)| \leq \frac{1}{2\pi} \int_{C_r} \left| \frac{f(w)}{w-z} \right| \left| \frac{z-z_0}{w-z_0} \right|^{n+1} dw$$

Notemos que

$$|w-z| = |(w-z_0) - (z-z_0)| \geq |w-z_0| - |z-z_0| = r - |z-z_0|$$

Por ende,

$$\frac{1}{2\pi} \int_{C_r} \left| \frac{f(w)}{w-z} \right| \left| \frac{z-z_0}{w-z_0} \right|^{n+1} dw \leq \frac{1}{2\pi} \int_{C_r} \frac{\max_{w \in C_r} |f(w)|}{r - |z-z_0|} \frac{|z-z_0|^{n+1}}{r^{n+1}} dw \leq \frac{1}{2\pi} \frac{\max_{w \in C_r} |f(w)|}{r - |z-z_0|} \frac{|z-z_0|^{n+1}}{r^{n+1}} 2\pi r$$

Finalmente,

$$|f(z) - S_n(z)| \leq \frac{\max_{w \in C_r} |f(w)|}{r - |z-z_0|} \frac{|z-z_0|^{n+1}}{r^n}$$

Esta diferencia tiende a 0 para n grande, pues $\left(\frac{|z-z_0|}{r}\right)^n$ es menor a 1. \square

Proposición 6.7 (Principio de módulo máximo)

Sea $f : D \rightarrow \mathbb{C}$ holomorfa y D abierto conexo. Si hay $z_0 \in D$ tal que $|f(z_0)| \geq |f(z)|$ para todo $z \in D$, entonces f es constante.

Demostración.

Sea $M = |f(z_0)|$, $A = \{z \in D : |f(z)| = M\}$, $B = \{z \in D : |f(z)| < M\}$. Notemos que estos dos conjuntos son disjuntos, que B es abierto y A no vacío. Si este último también fuera abierto, entonces B debería ser vacío pues D es conexo. ($D = A \sqcup B$)

Sea $z_1 \in A$, quiero ver que hay $r > 0$ tal que $\mathcal{B}_r(z_1) \subseteq A$. Supongamos que esto no ocurre y sea $r > 0$, entonces hay $w \in \mathcal{B}_r(z_1) \subseteq D$ tal que $w \notin A$, o sea que $|f(w)| < M$. Sea $\rho = |w - z_1|$, entonces $w = z_1 + \rho e^{it_0}$ para algún $t_0 \in [0, 2\pi]$. Por el teorema de valor medio sabemos que

$$f(z_1) = \frac{1}{2\pi} \int_0^{2\pi} f(z_1 + \rho e^{it}) dt$$

Como $|f(w)| = |f(z_1 + \rho e^{it_0})| < M$, por continuidad, hay $\delta > 0$ tal que, si $t \in [t_0 - \delta, t_0 + \delta] \cap [0, 2\pi] = I$, entonces

$$|f(z_1 + \rho e^{it})| < M$$

Sea $J = [0, 2\pi] - I$, entonces

$$|f(z_1)| \leq \frac{1}{2\pi} \int_0^{2\pi} |f(z_1 + \rho e^{it})| dt = \frac{1}{2\pi} \left(\int_I |f(z_1 + \rho e^{it})| dt + \int_J |f(z_1 + \rho e^{it})| dt \right) < \frac{1}{2\pi} (M|I| + M|J|) = \frac{1}{2\pi} M 2\pi = M$$

(El integrando sobre I se puede acotar estrictamente por M , y el otro por menor o igual a M , así que queda $<$)

Entonces, $|f(z_1)| < M$. Esto es absurdo pues z_1 pertenece a A . \square

Corolario

Si D es un abierto conexo y acotado y f es una función no constante, holomorfa en D y continua en \overline{D} , entonces el máximo de f se alcanza en $\partial \overline{D}$.

Proposición 6.8 (Principio de módulo mínimo)

Sea $f : D \rightarrow \mathbb{C}$ holomorfa en D abierto conexo y tal que $f(z) \neq 0$ para todo z en D . Si existe $z_0 \in D$ tal que $|f(z_0)| \leq |f(z)|$ para todo $z \in D$, entonces f es constante.

Demostración.

Como f no se anula nunca y es holomorfa, entonces $g(z) = \frac{1}{f(z)}$ es holomorfa en D y $|g(z)| \leq |g(z_0)|$ para todo $z \in D$. Por la proposición anterior, g es constante y entonces f también. \square

Corolario

Sea D un abierto conexo y f una función no constante y holomorfa en D . Si f no se anula, entonces $|f|$ no alcanza un mínimo en D .

Proposición 6.9 (Teorema de la aplicación abierta)

Sea D abierto conexo y $f \in \mathcal{H}(D)$. Si f no es constante, entonces $f(D)$ es un abierto.

Demostración.

Sea $w_0 \in f(D)$, entonces hay $z_0 \in D$ tal que $f(z_0) = w_0$. Sea $g(z) = f(z) - w_0$. g se anula en z_0 y es analítica. Entonces, hay $R > 0$ tal que $g(z) \neq 0$ para $z \in \mathcal{B}_R^*(z_0)$ (es la bola sin el centro). Luego, $f(z) \neq w_0$ en $\mathcal{B}_R^*(z_0)$.

Sea $r > 0$ y menor a R , y $\varepsilon = \min_{\substack{|z-z_0|=r \\ z \neq z_0}} |f(z) - w_0|$. Afirmando que $\mathcal{B}_{\varepsilon/2}(w_0) \subseteq f(D)$

Sea $w_1 \in \mathcal{B}_{\varepsilon/2}(w_0)$, entonces $|w_0 - w_1| < \frac{\varepsilon}{2}$. Notemos que, si $|z - z_0| = r$,

$$|f(z) - w_1| = |(f(z) - w_0) - (w_1 - w_0)| \geq |f(z) - w_0| - |w_1 - w_0| > \varepsilon - \frac{\varepsilon}{2} = \frac{\varepsilon}{2}$$

Sea $\tilde{\varepsilon} = \min_{z \in \mathcal{B}_r(z_0)} |f(z) - w_1|$. Por Weierstrass, hay $z_1 \in \mathcal{B}_r(z_0)$ tal que $\tilde{\varepsilon} = |f(z_1) - w_1|$. Observemos que

$$\tilde{\varepsilon} = |f(z_1) - w_1| \leq |f(z_0) - w_1| < \frac{\varepsilon}{2}$$

(Este mínimo se alcanza en el interior porque vimos que $|f(z) - w_1| > \frac{\varepsilon}{2}$ si $|z - z_0| = r$).

Si $|f(z_1) - w_1| > 0$ entonces hay $r' > 0$ tal que $f(z) - w_1 \neq 0$ en $\mathcal{B}_{r'}(z_1)$, y esto implicaría que f es constante. Como no lo es, entonces $|f(z_1) - w_1| = 0$, es decir,

$$f(z_1) = w_1 \quad \square$$

Proposición 6.10

Sea f una función entera y no constante. Entonces $\overline{f(\mathbb{C})} = \mathbb{C}$.

Demostración.

Supongamos que esto no ocurre, de manera que hay $r > 0$ y $z_0 \in \mathbb{C}$ tal que $\mathcal{B}_r(z_0) \cap \mathbb{C} = \emptyset$, o sea que $|f(z) - z_0| > r$ para todo z complejo. Luego, la función $g(z) = \frac{1}{f(z) - z_0}$ es entera y está acotada en módulo por $\frac{1}{r}$. Por Liouville, g es constante y entonces f también, y esto es absurdo pues se supuso lo contrario. \square

Proposición 6.11 (Principio de identidad)

Sea D un abierto conexo y $f, g \in \mathcal{H}(D)$ (holomorfas en D) tales que el conjunto

$$Ec(f, g) = \{z \in \mathbb{C} : f(z) = g(z)\}$$

Tiene un punto de acumulación en D . Entonces, $f = g$ en D .

Demostración.

Sean $f, g \in \mathcal{H}(D)$ y consideremos el punto de acumulación $z_0 \in D$ de $\text{Ec}(f, g)$, que es igual al conjunto de ceros de la función $f - g$. Como este elemento es un punto de acumulación, todo entorno alrededor de él tiene algún otro elemento de $\text{Ec}(f, g)$, o sea, otro cero. Sabemos que todos los puntos donde una función analítica se anula son aislados; como este no es el caso, debe ser que $f = g$ en D . \square

Proposición 6.12 (Lema de Schwarz)

Sea $f \in \mathcal{H}(\mathcal{B}_1(0))$ con $f(0) = 0$ y $|f(z)| < 1$ en $\mathcal{B}_1(0)$, entonces $|f(z)| \leq |z|$ (y $|f'(0)| \leq 1$). Además, si hay $z_0 \in \mathcal{B}_1^*(0)$ tal que $|f(z_0)| = |z_0|$ (o $|f'(0)| = 1$), entonces existe $\lambda : \{z \in \mathbb{C} : |z| = 1\}$ tal que $f(z) = \lambda z$.

Demostración.

En otro momento voy a agregar la demostración usando y/o concluyendo lo que puse en paréntesis.

Podemos factorizar el cero de orden $m \geq 1$ de f así:

$$f(z) = z^m g(z)$$

Con g holomorfa en $\mathcal{B}_1(0)$ y $g(0) \neq 0$. Afirmando que $|g(z)| \leq 1$. Supongamos que no ocurre, de manera que hay $z_0 \in \mathcal{B}_1(0)$ tal que $|g(z_0)| > 1$. Si tomamos $r > 0$ tal que $r < |g(z_0)|^{-1/m} < 1$, entonces

$$\max_{|z|=r} |z^m g(z)| = r^m \max_{|z|=r} |g(z)| = \max_{|z|=r} |f(z)|$$

Es decir,

$$\max_{|z|=r} |g(z)| = r^{-m} \max_{|z|=r} |f(z)| < |g(z_0)|$$

Así que g alcanza un máximo en $\mathcal{B}_r(z_0)$, por lo que debería ser constante. Esto no ocurre debido a que $\max_{|z|=r} |g(z)| < |g(z_0)|$. Entonces tenemos que $|g(z)| \leq 1$. Por ende,

$$|f(z)| = |z^m| |g(z)| \leq |z|$$

Por otro lado, si existe $z_0 \in \mathcal{B}_1(0)$ tal que $|f(z_0)| = |z_0|$, se tiene que

$$|z_0| = |g(z_0)| |z_0|^m \leq |z_0|^m.$$

Como $|z_0| < 1$, necesariamente $m = 1$ y $|g(z_0)| = 1$. Ya sabíamos que g estaba acotada en módulo por 1, y encontramos un punto interior donde se alcanza ese valor (g tiene un máximo en el interior); por ende g es constante. Luego $f(z) = g(z_0)z = \lambda z$. \square

6.2. Integración sobre curvas continuas

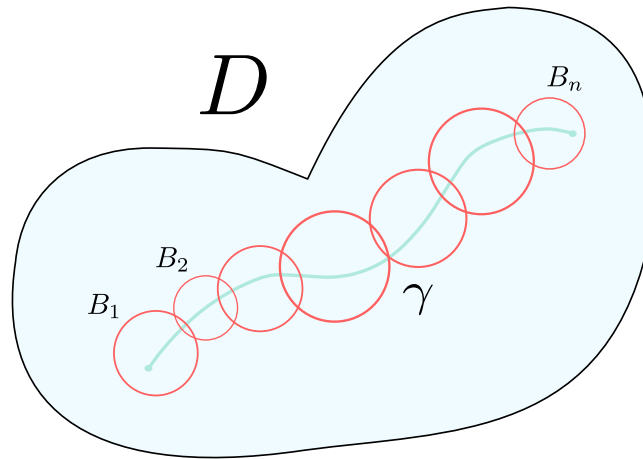
Este apartado no va a introducir definiciones nuevas ni nada por el estilo, solo busca hablar un poco de cómo podemos generalizar algunos resultados a curvas solamente continuas. Consideremos primero la siguiente observación

Observación

Sea D un abierto conexo y $f \in \mathcal{H}(D)$. Si $z_0 \in D$ y r un número real positivo son tales que $\mathcal{B}_r(z_0) \subseteq D$, entonces existe $F : \mathcal{B}_r(z_0) \rightarrow \mathbb{C}$ primitiva holomorfa de f (o sea que cumple que $F' = f$).

La justificación tiene que ver con que las bolas son conjuntos simplemente conexos y ahí toda función holomorfa tiene primitiva. Esto será probado más adelante, pero, por más que sea confuso introducir una observación sobre algo que no probamos, va a ser útil saberlo de entrada.

Consideremos $\gamma : [a, b] \rightarrow D$ una curva continua. Sabemos entonces que su imagen, $\gamma([a, b])$, que vamos a bautizar como K , es un compacto (es la imagen de un compacto por una función continua). Entonces, dado un cubrimiento $\{B_i\}_{i \in I}$ de K conformado por bolas contenidas en D , por compacidad, existe un subcubrimiento finito $\mathfrak{B} = \{B_1, B_2, \dots, B_n\} \subseteq D$ tal que $K \subseteq \bigcup_{i=1}^n B_i$. Para cada $k \in \{1, \dots, n\}$, existe $F_k \in \mathcal{H}(B_k)$ primitiva de f en B_k .



Si consideramos ε el número de Lebesgue del cubrimiento \mathfrak{B} , sabemos que, dados $z, w \in K$ tales que $|z - w| < \varepsilon$, hay $k \in \{1, \dots, n\}$ que satisface que $z, w \in B_k$. Debido a que γ es uniformemente continua (continua definida en un compacto), para cualquier par de elementos $t, t' \in [a, b]$ existe $\delta > 0$ tal que si $|t - t'| < \delta$, entonces $|\gamma(t) - \gamma(t')| < \varepsilon$.

Consideremos ahora una partición $\{t_0, \dots, t_m\} \subseteq [a, b]$ con $t_0 = a$ y $t_m = b$ lo suficientemente fina como para que, dado cualquier $j \in \{1, \dots, m\}$, valga que $|t_{j-1} - t_j| < \delta$. De esta manera, sus imágenes van a distar a menos de ε y, más aún, esto va a ser cierto para todo punto intermedio $t \in [t_{j-1}, t_j]$, entonces se va a tener que existe $k \in \{1, \dots, n\}$ tal que $\gamma([t_{j-1}, t_j]) \subseteq B_k$.

Procediendo de esta manera, podemos partir la curva en tramos en los que la primitiva es la misma en todo el intervalo, y esto incentiva la siguiente definición:

$$\int_{\gamma} f = \sum_{j=1}^m F_{k,j}(\gamma(t_j)) - F_{k,j}(\gamma(t_{j-1}))$$

Donde $F_{k,j}$ es la primitiva en la bola a la que pertenecen simultáneamente $\gamma(t_j)$ y $\gamma(t_{j-1})$.

Hilando bastante más fino (Recomiendo revisar todo esto en el apunte de Tico), se puede comprobar la buena definición de esta integral.

7. Homotopías

Esta parte de la teoría la vimos justo antes del primer parcial y entonces quedaron cosas sin demostrar (es el típico tema que ves justo antes y no entra). Voy a enunciar todas las proposiciones importantes porque de hecho hay algunas muy útiles.

Definición 7.0

Sean $\gamma_0, \gamma_1 : [a, b] \rightarrow D$ continuas con D un abierto conexo. Decimos que γ_0 y γ_1 son homotópicas si existe una función $H : [0, 1] \times [a, b] \rightarrow D$ continua tal que $H(0, t) = \gamma_0(t)$ y $H(1, t) = \gamma_1(t)$ para todo $t \in [a, b]$. De cumplir esto, H recibe el nombre de homotopía.

Esto básicamente significa que puedo deformar continuamente una de las curvas hasta convertirla.^{en} la otra.

Ejemplo. Sea $D = \mathcal{B}_2(0)$. Decidir si $\gamma_0(t) = e^{it}$ y $\gamma_1(t) = 0$, definidas ambas para $t \in [a, b]$, son homotópicas.

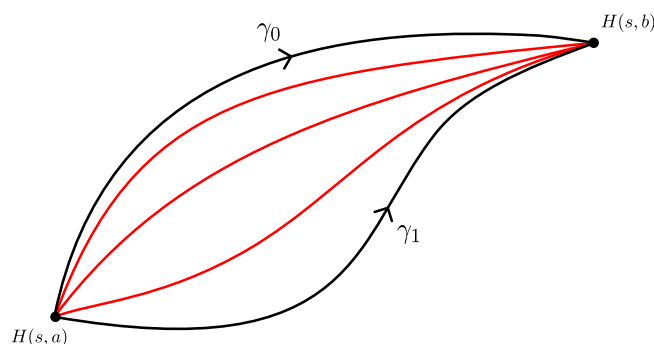
Intuitivamente, uno piensa en reducir el radio del círculo hasta convertirlo en un punto. Esta idea va a funcionar porque haciendo esto nunca salimos de nuestro dominio. La homotopía de γ_0 a γ_1 es $H(s, t) = (1 - s)e^{it}$. Claramente es continua y verifica que $H(0, t) = \gamma_0(t) = e^{it}$ y $H(1, t) = \gamma_1(t) = 0$.

Observación 7.0

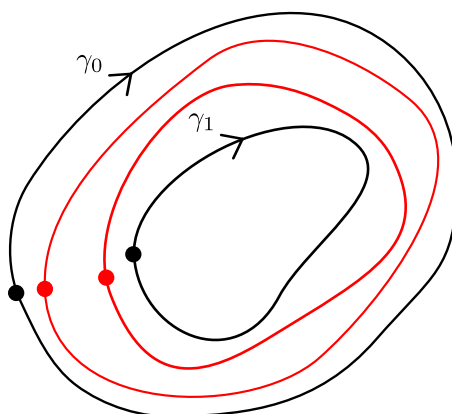
“Ser homotópica a” es una relación de equivalencia.

Algunos casos particulares de homotopías ilustrados

1. Extremos fijos: $H(s, a)$ es constante y $H(s, b)$ también.



2. Curvas cerradas: para cada s fijo, $H(s, t)$ es una curva cerrada.



Proposición 7.0

Sea $\gamma : [a, b] \rightarrow D$ continua con D abierto conexo. Existe $\delta > 0$ tal que toda curva continua $\sigma : [a, b] \rightarrow D$ que verifica

$$\max_{t \in [a, b]} |\gamma(t) - \sigma(t)| < \delta$$

es homotópica a γ .

Demostración. (Idea)

Lo que uno puede proponer, a grosso modo, es que δ sea la distancia de la imagen de la curva a $\mathbb{C} \setminus D$. De esta manera, cualquier curva σ cuya imagen esté completamente contenida en esa δ -vecindad va a ser homotópica vía la homotopía $H : [0, 1] \times [a, b] \rightarrow D$ dada por $H(s, t) = (1 - s)\gamma(t) + s\sigma(t)$. Esta es la homotopía que, dado un t_0 fijo, forma el segmento que une $\gamma(t_0)$ con $\sigma(t_0)$. Notar que

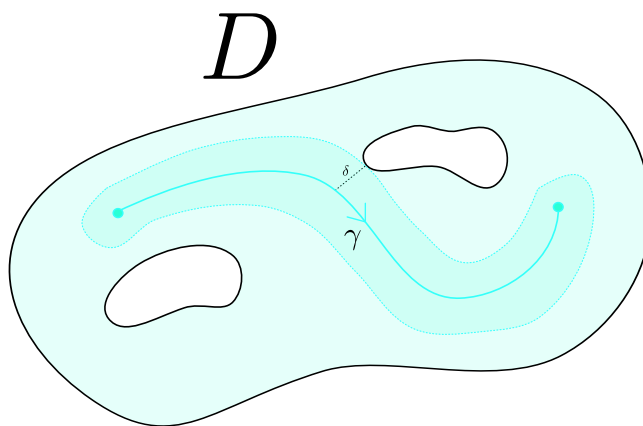
$$H(s, t) = (1 - s)\gamma(t) + s\sigma(t) = \gamma(t) - s\gamma(t) + s\sigma(t)$$

Entonces,

$$H(s, t) - \gamma(t) = s(-\gamma(t) + \sigma(t))$$

$$|H(s, t) - \gamma(t)| = |s(-\gamma(t) + \sigma(t))| < s \max_{t \in [a, b]} |\gamma(t) - \sigma(t)| < s\delta < \delta$$

Con esto terminamos de comprobar que H está bien definida: es continua, satisface que $H(0, t) = \gamma(t)$ y $H(1, t) = \sigma(t)$; y su imagen está siempre dentro de D (más aún, está en la δ -vecindad de γ). \square



Proposición 7.1

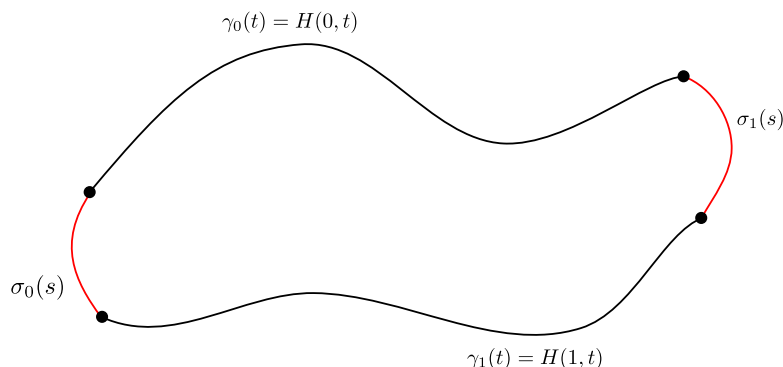
Sea $f : D \rightarrow \mathbb{C}$ con $f \in \mathcal{H}(D)$ y D abierto conexo, sean $\gamma_0, \gamma_1 : [a, b] \rightarrow D$ dos curvas continuas homotópicas con $H : [0, 1] \times [a, b] \rightarrow D$ la homotopía entre ellas, si consideramos

$$\gamma_0(t) = H(0, t) \quad \gamma_1(t) = H(1, t) \quad \sigma_0(s) = H(s, a) \quad \sigma_1(s) = H(s, b)$$

entonces,

$$\int_{\gamma_1} f - \int_{\gamma_0} f = \int_{\sigma_1} f - \int_{\sigma_0} f$$

Estas son las curvas de las que estamos hablando



Esta proposición es realmente muy importante, pero no la probamos, lo cual es gracioso. Entiendo que quedó flotando entre clase y parcial y después de este empezamos con otro tema. En el apunte de Tico está. \square

Corolario

Si γ_0, γ_1 son dos curvas homotópicas con extremos fijos (tienen los mismos extremos y existe H una homotopía entre ellas tal que $H(s, a) = \gamma_0(a) = \gamma_1(a)$ y $H(s, b) = \gamma_0(b) = \gamma_1(b)$ para todo $s \in [0, 1]$), entonces,

$$\int_{\gamma_0} f = \int_{\gamma_1} f$$

Corolario

Si γ_0, γ_1 son dos curvas cerradas homotópicas vía curvas cerradas (existe H una homotopía entre ellas tal que $H(s, a) = H(s, b)$ para todo $s \in [0, 1]$. O sea, toda curva intermedia es también cerrada), entonces,

$$\int_{\gamma_0} f = \int_{\gamma_1} f$$

Definición 7.1

Sea $D \subseteq \mathbb{C}$ un abierto conexo. D se dice *simplemente conexo* si toda curva cerrada γ con imagen en D es homotópica vía curvas cerradas a una curva constante.

Teorema 7.0 (Teorema de Cauchy generalizado)

Sea D un abierto simplemente conexo y $f : D \rightarrow \mathbb{C}$ con $f \in \mathcal{H}(D)$, si $\gamma : [a, b] \rightarrow D$ es una curva continua y cerrada, entonces,

$$\int_{\gamma} f = 0$$

Demostración.

Como D es simplemente conexo, toda curva cerrada es homotópica a una curva constante $k \in D$ vía curvas cerradas. De acuerdo al corolario anterior, ambas integrales van a coincidir. Por otro lado, la integral sobre una curva constante es claramente nula.

$$\int_{\gamma} f = \int_k f = 0 \quad \square$$

8. Series de Laurent y singularidades

8.1. Anillos en \mathbb{C} y serie de Laurent

Definición 8.1.0

Sea $z_0 \in \mathbb{C}$ y $r, R \in \mathbb{R}$ (aunque también podemos considerar $R = \infty$) tales que $0 \leq r < R$. Definimos

$$A_{r,R}(z_0) = \{z \in \mathbb{C} : r < |z - z_0| < R\}$$

Geométricamente, $A_{r,R}(z_0)$ es un anillo alrededor de z_0 , y no sé si hay un nombre estandarizado para también hacer mención a sus “radios”.

Algunos casos especiales son:

- Si $r = 0$, $A_{r,R}(z_0) = \mathcal{B}_R^*(z_0)$
- Si $R = \infty$, $A_{r,R}(z_0) = \mathbb{C} \setminus \mathcal{B}_r[z_0]$
- Si $r = 0$ y $R = \infty$, $A_{r,R}(z_0) = \mathbb{C} \setminus \{0\}$

Si consideramos una función g holomorfa en $\mathcal{B}_R(0)$ y una h holomorfa en $\mathcal{B}_{1/r}(0)$ donde $r < R$. Definamos una función f de la siguiente manera

$$f(z) = g(z - z_0) + h\left(\frac{1}{z - z_0}\right)$$

Notemos que, si $|z - z_0| < R$, entonces $g(z - z_0)$ es holomorfa. Por otro lado, si $|z - z_0| > r$, es $\frac{1}{|z - z_0|} < \frac{1}{r}$, así que $h\left(\frac{1}{z - z_0}\right)$ es holomorfa.

Esto implica que f es holomorfa cuando ambas lo son simultáneamente, es decir, en $A_{r,R}(z_0)$. Si consideramos la expansión en serie de potencias de g y h

$$g(z) = \sum_{n=0}^{\infty} b_n z^n \quad h(z) = \sum_{n=0}^{\infty} c_n z^n$$

Para $|z - z_0| < R$ y $|z - z_0| < \frac{1}{r}$, respectivamente. Entonces, resulta estar bien definida si $r < |z - z_0| < R$ la expansión para f

$$f(z) = \sum_{n=0}^{\infty} b_n (z - z_0)^n + \sum_{n=0}^{\infty} c_n \frac{1}{(z - z_0)^n} = \sum_{n=0}^{\infty} b_n (z - z_0)^n + \sum_{n=-\infty}^{-1} c_{-n} (z - z_0)^n$$

Y podríamos considerar los “coeficientes” a_n de la expansión de f así

$$a_n = \begin{cases} b_n & \text{si } n \geq 0 \\ c_{-n} & \text{si } n < 0 \end{cases}$$

Nos gustaría poder decir que toda función holomorfa en un anillo admite un desarrollo de este estilo, o también con finitos coeficientes de índice negativo.

Teorema 8.1.0 (Fórmula integral de Cauchy en anillos)

Sea $z_0 \in \mathbb{C}$, r y R números reales tales que $0 \leq r < R$ y $f \in \mathcal{H}(A_{r,R}(z_0))$. Para cada $z \in A_{r,R}(z_0)$ y $r_1, r_2 \in \mathbb{R}$ tales que $r < r_1 < |z - z_0| < r_2 < R$, se tiene que

$$f(z) = \frac{1}{2\pi i} \int_{C_{r_2}(z_0)} \frac{f(w)}{w - z} dw - \frac{1}{2\pi i} \int_{C_{r_1}(z_0)} \frac{f(w)}{w - z} dw$$

Donde $C_r(z) = \partial \mathcal{B}_r(z) = \{w \in \mathbb{C} : |w - z| = r\}$

Demostración.

Sea $z \in \text{int}(A_{r,R}(z_0))$, entonces hay $\rho > 0$ tal que $B_\rho(z) \subseteq A_{r,R}(z_0)$. Por la FIC sabemos que

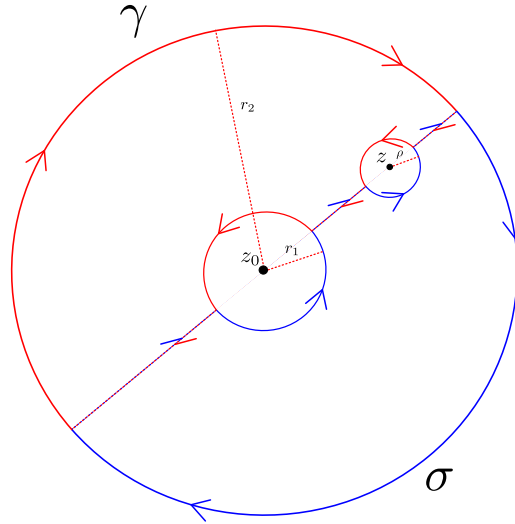
$$f(z) = \frac{1}{2\pi i} \int_{C_\rho(z)} \frac{f(w)}{w - z} dw$$

Entonces nos alcanza con probar que la igualdad

$$\frac{1}{2\pi i} \int_{C_{r_2}(z_0)} \frac{f(w)}{w - z} dw - \frac{1}{2\pi i} \int_{C_{r_1}(z_0)} \frac{f(w)}{w - z} dw = \frac{1}{2\pi i} \int_{C_\rho(z)} \frac{f(w)}{w - z} dw$$

Es cierta.

Consideremos las siguientes curvas γ y σ



La función $\frac{f(w)}{w - z}$ es holomorfa en $A_{r,R}(z_0) - \{z\}$. Además, γ y σ son cada una homotópicas vía curvas cerradas a alguna constante (no necesariamente a la misma). Luego,

$$\int_{\gamma} \frac{f(w)}{w - z} dw = \int_{\sigma} \frac{f(w)}{w - z} dw = 0$$

Entonces,

$$0 = \frac{1}{2\pi i} \int_{\gamma} \frac{f(w)}{w - z} dw + \frac{1}{2\pi i} \int_{\sigma} \frac{f(w)}{w - z} dw = -\frac{1}{2\pi i} \int_{C_{r_2}(z_0)} \frac{f(w)}{w - z} dw + \frac{1}{2\pi i} \int_{C_{r_1}(z_0)} \frac{f(w)}{w - z} dw + \underbrace{\frac{1}{2\pi i} \int_{C_\rho(z)} \frac{f(w)}{w - z} dw}_{f(z) \text{ (FIC)}}$$

Es decir,

$$f(z) = \frac{1}{2\pi i} \int_{C_{r_2}(z_0)} \frac{f(w)}{w-z} dw - \frac{1}{2\pi i} \int_{C_{r_1}(z_0)} \frac{f(w)}{w-z} dw \quad \square$$

Teorema 8.1.1

Sean r, ρ, R reales con $0 < r < \rho < R$, $z_0 \in \mathbb{C}$, f una función holomorfa en $A_{r,R}(z_0)$ y $S_n(z) = \sum_{k=-n}^n a_k(z-z_0)^k$ donde $a_k = \frac{1}{2\pi i} \int_C \frac{f(w)}{(w-z_0)^{k+1}} dw$ con $C : w(t) = z_0 + \rho e^{it}$ siendo $r < \rho < R$ y $t \in [0, 2\pi]$. Entonces, si $K \subseteq A_{r,R}(z_0)$ es compacto, $S_n(z)$ converge uniformemente a $f(z)$ en K .

Demostración.

Sean $K \subseteq A_{r,R}$ compacto, $z \in K$, $r_1, r_2 \in (r, R)$ tales que $r_1 < \rho_1 = \min_{z \in K} |z - z_0| \leq |z - z_0| \leq \rho_2 = \max_{z \in K} |z - z_0| < r_2$, para $j \in \{1, 2\}$, $C_j : w_j(t) = z_0 + r_j e^{it}$ y finalmente $C : w(t) = z_0 + \rho e^{it}$ con $r < \rho < R$ y $t \in [0, 2\pi]$. Sabemos que

$$f(z) = \frac{1}{2\pi i} \int_{C_2} \frac{f(w)}{w-z} dw - \frac{1}{2\pi i} \int_{C_2} \frac{f(w)}{w-z} dw$$

Nuestro objetivo va a ser conseguir una cota para la diferencia entre el primer término y $\sum_{k=0}^n a_k(z-z_0)^k$ y otra para la

correspondiente entre el segundo y $\sum_{k=-n}^{-1} a_k(z-z_0)^k$

$$\begin{aligned} \sum_{k=0}^n a_k(z-z_0)^k &= \sum_{k=0}^n \frac{1}{2\pi i} \int_C \frac{f(w)}{(w-z_0)^{k+1}} dw (z-z_0)^k = \frac{1}{2\pi i} \int_C f(w) \sum_{k=0}^n \frac{(z-z_0)^k}{(w-z_0)^{k+1}} dw \\ \frac{1}{2\pi i} \int_{C_2} \frac{f(w)}{w-z} dw - \sum_{k=0}^n a_k(z-z_0)^k &= \frac{1}{2\pi i} \int_{C_2} f(w) \left[\frac{1}{w-z} - \sum_{k=0}^n \frac{(z-z_0)^k}{(w-z_0)^{k+1}} \right] dw \end{aligned}$$

La resta que está encerrada entre los corchetes, de acuerdo al lema que se encuentra inmediatamente después del Teorema 6.5, es igual a $\frac{1}{w-z} \frac{(z-z_0)^{n+1}}{(w-z_0)^{n+1}}$. Luego,

$$\begin{aligned} I &= \left| \int_{C_2} \frac{f(w)}{w-z} dw - \sum_{k=0}^n a_k(z-z_0)^k \right| = \frac{1}{2\pi} \left| \int_{C_2} \frac{f(w)}{w-z} \frac{(z-z_0)^{n+1}}{(w-z_0)^{n+1}} dw \right| \leq \frac{1}{2\pi} 2\pi r_2 \max_{|w-z_0|=r_2} \left| \frac{f(w)}{w-z} \right| \max_{|w-z_0|=r_2} \frac{|z-z_0|^{n+1}}{|w-z_0|^{n+1}} \\ I &\leq r_2 \frac{\overbrace{\max_{|w-z_0|=r_2} |f(w)|}^M}{r_2 - |z-z_0|} \frac{|z-z_0|^{n+1}}{r_2^{n+1}} \leq M \frac{r_2}{r_2 - \rho_2} \left(\frac{\rho_2}{r_2} \right)^{n+1} \end{aligned}$$

Y esa última cota tiende a 0 si n tiende a infinito. Ahora, procedemos de manera muy similar con el otro término

$$- \sum_{k=-n}^{-1} a_k(z-z_0)^k - \frac{1}{2\pi i} \int_{C_{r_1}} \frac{f(w)}{w-z} dw = \frac{1}{2\pi i} \int_{C_{r_1}} \frac{f(w)}{z-w} dw - \frac{1}{2\pi i} \int_C f(w) \sum_{k=-n}^{-1} \frac{(z-z_0)^k}{(w-z_0)^{k+1}} dw$$

Así que

$$- \sum_{k=-n}^{-1} a_k(z-z_0)^k - \frac{1}{2\pi i} \int_{C_{r_1}} \frac{f(w)}{w-z} dw = \frac{1}{2\pi i} \int_{C_{r_1}} f(w) \left[\frac{1}{z-w} - \sum_{j=0}^{n-1} \frac{(w-z_0)^j}{(z-z_0)^{j+1}} \right] dw \stackrel{\text{Lema}}{=} \frac{1}{2\pi i} \int_{C_{r_1}} \frac{f(w)}{z-w} \frac{(w-z_0)^n}{(z-z_0)^n} dw$$

Y desde ahí se puede acotar de, prácticamente, el mismo modo. \square

La representación $f(z) = \sum_{n=0}^{\infty} a_n(z-z_0)^n + \sum_{n=-\infty}^{-1} a_n(z-z_0)^n$ recibe el nombre de *serie de Laurent* (incluso si hay solo finitos coeficientes no nulos de índice negativo). La serie con los coeficientes de índice positivo recibe el nombre de *parte holomorfa*, y la otra el de *parte principal*.

Ejemplo. Hallar el desarrollo en serie de Laurent de $f(z) = \frac{1}{z-z^2}$ en $A_{1,2}(2)$.

En primer lugar, dicho desarrollo existe pues f es holomorfa en ese anillo (los puntos de no holomorfía están en la frontera). Sabiendo que

$$\frac{1}{z-z^2} = \frac{1}{z} + \frac{1}{1-z}$$

Podemos hallar el desarrollo de cada término

$$\frac{1}{z} = \frac{1}{z-2+2} = \frac{1}{2\left(1+\left(\frac{z-2}{2}\right)\right)}$$

Como $|z-2| < 2$, claramente se tiene que $\frac{|z-2|}{2} < 1$. Entonces la serie geométrica resulta convergente. Luego,

$$\frac{1}{z} = \frac{1}{2} \sum_{n=0}^{\infty} (-1)^n \left(\frac{z-2}{2}\right)^n$$

Por otra parte,

$$\frac{1}{1-z} = -\frac{1}{(z-2)+1} = -\frac{1}{(z-2)\left(1+\frac{1}{z-2}\right)}$$

Dado que $1 < |z-2|$, claramente $\frac{1}{|z-2|} < 1$. Por geométrica, otra vez,

$$\frac{1}{1-z} = -\frac{1}{z-2} \sum_{n=0}^{\infty} (-1)^n \frac{1}{(z-2)^n} = \sum_{n=0}^{\infty} (-1)^{n+1} \frac{1}{(z-2)^{n+1}} = \sum_{n=-\infty}^{-1} (-1)^n (z-2)^n$$

Finalmente,

$$f(z) = \frac{1}{2} \sum_{n=0}^{\infty} (-1)^n \left(\frac{z-2}{2}\right)^n + \sum_{n=-\infty}^{-1} (-1)^n (z-2)^n$$

Para todo $z \in A_{1,2}(2)$.

Observación 8.1.0

Una serie de Laurent $\sum_{n=-\infty}^{\infty} a_n(z-z_0)^n$ converge en un anillo $A_{r,R}(z_0)$ donde

$$r = \limsup_{n \rightarrow -\infty} \sqrt[n]{|a_n|} \quad R = \frac{1}{\limsup_{n \rightarrow \infty} \sqrt[n]{|a_n|}}$$

Entonces, si f es una función holomorfa en $A_{r,R}(z_0)$, su serie de Laurent va a converger en todo el anillo.

8.2. Singularidades

A continuación una definición inventada pero que creo que tiene sentido.

Definición 8.2.0

Sea $A \subseteq \mathbb{C}$ un abierto, $z_0 \in A$ y f una función holomorfa en $A - \{z_0\}$, si f no está definida en z_0 , decimos que f tiene una *singularidad* en dicho punto.

Definición 8.2.1

Una singularidad z_0 de una función f definida en $A - \{z_0\} \subseteq \mathbb{C}$ se dice *aislada* si existe $r > 0$ tal que no hay otra singularidad de f en $\mathcal{B}_r^*(z_0) \cap A$.

Clasificación de singularidades aisladas

Consideremos f una función holomorfa en $\mathcal{B}_R^*(z_0) = A_{0,R}(z_0)$ y su desarrollo correspondiente en serie de Laurent

$$f(z) = \sum_{n=-\infty}^{\infty} a_n(z - z_0)^n$$

Entonces,

- z_0 es una singularidad evitable si $a_n = 0$ para todo $n < 0$ (entonces f solo tiene parte holomorfa, así que $f \in \mathcal{H}(\mathcal{B}_R^*(z_0))$)
- z_0 es un polo de orden $m \in \mathbb{N}$ si $a_{-m} \neq 0$ y $a_{-n} = 0$ para todo $n > m$ (o sea, a_{-m} es el último coeficiente de índice negativo que es no nulo)
- z_0 es una singularidad esencial si $a_n \neq 0$ para infinitos enteros negativos.

Es importante notar que toda singularidad es de *uno y solo uno* de estos tipos. **Ejemplo.** Determinar qué tipo de singularidad tiene la función $f(z) = e^{\frac{1}{z}}$ en el punto $z_0 = 0$.

Es relativamente sencillo verificar esto, pues conocemos el desarrollo de la exponencial compleja en serie de potencias; este es

$$e^w = \sum_{n=0}^{\infty} \frac{w^n}{n!}$$

Luego, si $w = \frac{1}{z}$,

$$e^{\frac{1}{z}} = \sum_{n=0}^{\infty} \frac{z^{-n}}{n!}$$

Es decir, hay infinitos coeficientes no nulos de índice negativo pues hay infinitas potencias negativas de z . Así que el punto $z_0 = 0$ es una singularidad *esencial*.

Proposición 8.2.0

Sea $f \in \mathcal{H}(\mathcal{B}_R^*(z_0))$. Son equivalentes

1. z_0 es una singularidad evitable de f
2. $\lim_{z \rightarrow z_0} f(z)$ (o f está acotada en un entorno de z_0)

Demostración.

(1.) \rightarrow (2.): Como z_0 es singularidad evitable, f es holomorfa en $\mathcal{B}_R(z_0)$, es decir,

$$f(z) = \sum_{n=0}^{\infty} a_n(z - z_0)^n$$

Luego,

$$\lim_{z \rightarrow z_0} f(z) = \lim_{z \rightarrow z_0} \sum_{n=0}^{\infty} a_n(z - z_0)^n = a_0$$

(2.) \rightarrow (1.): Sea $\rho < R$, n un entero negativo y $C : w(t) = z_0 + \rho e^{it}$ con $t \in [0, 2\pi]$. Los coeficientes del desarrollo en serie de Laurent están dados por

$$a_n = \frac{1}{2\pi i} \int_C \frac{f(w)}{(w - z_0)^{n+1}} dw$$

$$|a_n| \leq \frac{1}{2\pi} \max_{|w-z_0|=\rho} \frac{|f(w)|}{|w-z_0|^{n+1}} 2\pi\rho = \max_{|w-z_0|=\rho} |f(w)|\rho^{-n}$$

$-n$ es un número positivo y $\max_{|w-z_0|=\rho} |f(w)|$ está acotado cuando ρ tiende a 0 debido a que el límite existe. Así que esa cota se hace arbitrariamente cercana a 0 si ρ se hace chico. \square

Proposición 8.2.1

Sea f una función holomorfa en $\mathcal{B}_R^*(z_0)$ y $m \in \mathbb{N}$. Son equivalentes

1. z_0 es un polo de orden m de f
2. $\lim_{z \rightarrow z_0} (z - z_0)^m f(z)$ existe y es no nulo
3. $\lim_{z \rightarrow z_0} |f(z)| = \infty$

Demostración.

(1.) \rightarrow (2.): Sea z_0 un polo de orden m de f , entonces,

$$f(z) = \sum_{n=-\infty}^{\infty} a_n (z - z_0)^n$$

Con $a_{-m} \neq 0$ y $a_{-n} = 0$ si $n > m$.

$$(z - z_0)^m f(z) = \sum_{n=-m}^{\infty} a_n (z - z_0)^{n+m}$$

Así que

$$\lim_{z \rightarrow z_0} (z - z_0)^m f(z) = \lim_{z \rightarrow z_0} \sum_{n=-m}^{\infty} a_n (z - z_0)^{n+m} = a_{-m} \neq 0$$

(2.) \rightarrow (3.): Probemos esto vía contrarrecíproco: Si (3.) no ocurre, quiere decir que existe un número $M > 0$ tal que para todo $\delta > 0$ se tiene que hay un elemento $z \in \mathcal{B}_\delta^*(z_0)$ para el cual $|f(z)| \leq M$. Tomamos para cada número natural n un radio $\delta_n = \frac{1}{n}$ y un valor z_n que satisface la condición previamente enunciada. Notar que z_n converge a z_0 . Entonces,

$$0 \leq |z_n - z_0|^m |f(z_n)| \leq M |z_n - z_0|^m$$

Tomando límite con $n \rightarrow \infty$

$$0 \leq \lim_{n \rightarrow \infty} |z_n - z_0|^m |f(z_n)| \leq M \lim_{n \rightarrow \infty} |z_n - z_0|^m = 0$$

Luego $\lim_{n \rightarrow \infty} |z_n - z_0|^m |f(z_n)| = 0$, por lo que hallamos una trayectoria para la cual ese límite es nulo. Entonces solo pueden ocurrir dos cosas: todos los límites de todas las subsucesiones coinciden con este y entonces el límite es nulo, que implica que (2.) es falso; o algún límite de alguna subsucesión es distinto a 0 en módulo y entonces el límite no existe, que concluye lo mismo que antes sobre (2.).

(3.) \rightarrow (1.): De ser necesario, tomamos r un real tal que $0 < r < R$ y $f(z) \neq 0$ en $\mathcal{B}_r^*(z_0) = B^*$ (existe por (3.)). Luego, la función $g(z) = \frac{1}{f(z)}$ es holomorfa en B^* . Más aún, $\lim_{z \rightarrow z_0} g(z) = 0$. O sea que z_0 es una singularidad evitable de g , que entonces es holomorfa en $\mathcal{B}_r(z_0) = B$. Por ende, existe un natural m y una función $h \in \mathcal{H}(B)$ tal que $h(z) \neq 0$ en B y $g(z) = (z - z_0)^m h(z)$. Es decir,

$$f(z) = \frac{1}{(z - z_0)^m} \frac{1}{h(z)}$$

Y $\frac{1}{h(z)}$ es holomorfa en B pues h lo es y no se anula ahí; luego,

$$f(z) = \frac{1}{(z - z_0)^m} \sum_{n=0}^{\infty} a_n (z - z_0)^n$$

El coeficiente a_0 se corresponde con $\frac{1}{h(z_0)}$ que es no nulo. Entonces f tiene a a_{-m} (es a_0 en el desarrollo de h) como último coeficiente no nulo de índice negativo, o sea, z_0 es un polo de orden m de f . \square

Teorema 8.2.0 (Teorema de Casorati-Weierstrass)

Sea $z_0 \in \mathbb{C}$, $R > 0$ y f una función holomorfa en $\mathcal{B}_R^*(z_0)$. Son equivalentes

1. Para todo $\delta \in (0, R)$, es $f(\mathcal{B}_\delta^*(z_0))$ es un abierto denso en \mathbb{C}
2. z_0 es una singularidad esencial

Demostración.

(1.) \rightarrow (2.): Sabemos que, dado cualquier $\delta \in (0, R)$, $f(\mathcal{B}_\delta^*(z_0))$ va a ser un conjunto denso en \mathbb{C} . Supongamos que no es cierto que z_0 es una singularidad esencial de f , entonces, ocurre necesariamente una de estas dos cosas:

$\lim_{z \rightarrow z_0} f(z) = a \in \mathbb{C}$: de acuerdo con la definición de límite, existe un real $\delta_1 > 0$ tal que $f(\mathcal{B}_{\delta_1}^*(z_0)) \subseteq \mathcal{B}_1(a)$, entonces, la imagen no puede ser densa en los complejos pues está contenida en un conjunto que claramente no lo es.

$\lim_{z \rightarrow z_0} |f(z)| = \infty$: con el mismo argumento de antes, existe un real $\delta_2 > 0$ que satisface que $f(\mathcal{B}_{\delta_2}^*(z_0)) \subseteq \{z \in \mathbb{C} : |z| > 1\}$. Por el mismo motivo de antes, no es posible que la imagen sea densa. \square

(Si δ_1 o δ_2 no son menores que R , tomo alguna bola de radio menor contenida en cada una de ellas y la contención enunciada sigue siendo cierta en ambos casos.)

(2.) \rightarrow (1.): Sabemos que la imagen va a ser abierta pues $\mathcal{B}_\delta^*(z_0)$ es un abierto conexo y f es holomorfa ahí (Proposición 6.9), probemos que es densa vía contrarrecíproco: supongamos que no lo es, de manera que hay un número real $\delta' > 0$ tal que $f(\mathcal{B}_{\delta'}^*(z_0))$ no es denso en \mathbb{C} , por lo que existe un complejo $w \in \mathbb{C}$ y $\varepsilon > 0$ tal que $|f(z) - w| \geq \varepsilon$ para todo $z \in \mathcal{B}_{\delta'}^*(z_0) = B^*$. Luego, la función $g(z) = \frac{1}{f(z) - w}$ es holomorfa en B^* , además, notemos que

$$|g(z)| = \left| \frac{1}{f(z) - w} \right| \leq \frac{1}{\varepsilon}$$

Entonces g está acotada en un entorno de z_0 . De acuerdo a la Proposición 8.2.0 podemos concluir que z_0 es una singularidad evitable de g que resulta ser holomorfa en $\mathcal{B}_{\delta'}(z_0) = B$. Si $g(z_0) = 0$, entonces hay una función $h \in \mathcal{H}(B)$ tal que $h(z) \neq 0$ para todo $z \in B$ y además $g(z) = (z - z_0)^m h(z)$. Así que

$$f(z) - w = \frac{1}{(z - z_0)^m} \frac{1}{h(z)}$$

Y entonces z_0 es un polo de orden m . Si $g(z_0) \neq 0$, tenemos que

$$f(z) = w + \frac{1}{g(z)}$$

Por lo que z_0 es una singularidad evitable. Luego, no puede ser esencial. \square